



**CONAGUA**  
COMISIÓN NACIONAL DEL AGUA



**SMN**  
SERVICIO  
METEOROLÓGICO  
NACIONAL

Año: 16  
Número: 2

# Reporte del clima en **México**

Febrero 2026

# Comisión Nacional del Agua

## Coordinación General del Servicio Meteorológico Nacional

[www.conagua.gob.mx](http://www.conagua.gob.mx) | [smn.conagua.gob.mx/es](http://smn.conagua.gob.mx/es)

### **M. en C. Fabián Vázquez Romaña**

Coordinador General del Servicio Meteorológico Nacional

### **Mtro. Rafael Trejo Vázquez**

Gerente de Meteorología y Climatología

### **L.C.T. Alejandro Jair García Jiménez**

Subgerente de Pronóstico Meteorológico

### **Autores**

Ing. Reynaldo Pascual Ramírez

Geo. Minerva López Quiroz

Ing. Aurora Guadalupe Zavala Fajardo

Lic. Harin Reyna López

M. en C. Fernando Nicolás Arellano Guerrero

Ing. Juan Andrés Crespo López

Dr. Jaime Meza Carreto

L.C.T. Andrea Isabel Anguiano García

L.C.T. Aimeé Margarita Melchum Juárez

### **Edición**

Ing. Aurora Guadalupe Zavala Fajardo

### **Revisión**

L.C.T. Alejandro Jair García Jiménez

Dr. Jaime Meza Carreto

L.C.T. Andrea Isabel Anguiano García

### **Maquetación**

Lic. J. Guillermo Santillán Arteaga

Dudas e información:  
[ventanillaunica.smn@conagua.gob.mx](mailto:ventanillaunica.smn@conagua.gob.mx)

# Contenido

- **Prólogo**
- **Sinopsis Climática**
- **Condiciones Globales**
- **Precipitación**
- **Sequía**
- **Temperaturas**
- **Frentes fríos**
- **Eventos Notables**
- **¿Sabías qué?**
- **Anexos**

# Prólogo

Las condiciones meteorológicas observadas en México son resultado de la intrincada interacción de factores atmosféricos y oceánicos. Estas complejas sinergias influyen de manera significativa tanto en la manifestación del estado del tiempo diario como en la configuración de patrones climáticos a largo plazo. La comprensión de estas variaciones espacio-temporales posee una importancia fundamental para sectores estratégicos como la gestión integral de los recursos hídricos, la planificación y optimización de la actividad agrícola, así como para la implementación de estrategias efectivas de prevención y mitigación de riesgos asociados con eventos meteorológicos extremos.

El Reporte del Clima en México, elaborado por el Servicio Meteorológico Nacional de la CONAGUA, proporciona un análisis de los principales fenómenos meteorológicos que caracterizaron el mes. Este documento detalla la ocurrencia e intensidad de eventos como precipitaciones, frentes fríos, temperatura, ondas tropicales y ciclones tropicales. El reporte contextualiza estas fluctuaciones dentro del marco climatológico histórico del país, identificando desviaciones significativas (anomalías) y delineando tendencias relevantes, tales como periodos de sequía prolongada u ondas de calor.

Adicionalmente, se incluyen anexos con tablas detalladas sobre temperaturas promedio y lluvia registrada en cada entidad federativa, derivadas de las redes de medición de la CONAGUA y otras instituciones.

Este informe no solo documenta eventos atmosféricos recientes, sino que también ayuda a comprender su impacto dentro de patrones climáticos más amplios. Con esta publicación, el Servicio Meteorológico Nacional reafirma su compromiso con la difusión de datos confiables, proporcionando información accesible y precisa para especialistas, tomadores de decisión y el público en general.

# Sinopsis climática



## Sequía

El 7.4 % del país registró sequía de moderada a excepcional



## Precipitación acumulada

6.9 milímetros



## Frentes fríos

5 enumerados



## Temperatura

Máxima: 27.8 °C

Media: 19.3 °C

Mínima: 10.7 °C



## Eventos notables

Nevadas, heladas, tolvánicas y eventos "Norte".



## Condiciones globales

Febrero de 2026 se clasificó como el quinto febrero más cálido a nivel mundial.





# CONDICIONES GLOBALES

---

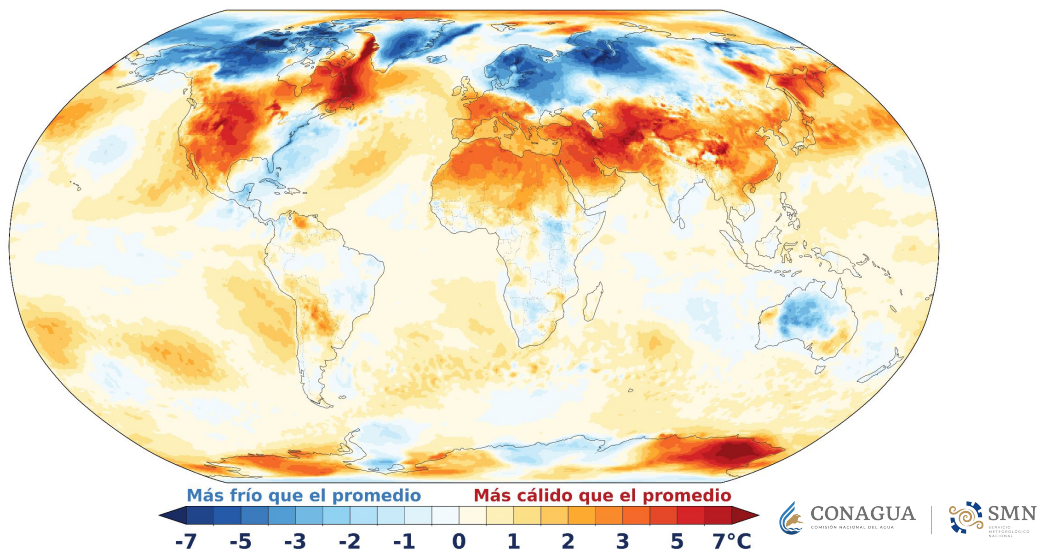
De acuerdo a los datos del reanálisis de quinta generación (ERA5) del European Centre for Medium-Range Weather Forecasts (ECMWF), para el periodo 1979–2025 y tomando como referencia el promedio 1991–2020, el mes de **febrero** de **2026** presentó una temperatura media global del aire de **13.26 °C**. Este valor representó una anomalía significativa de **0.53 °C** respecto al promedio, situándose como el **quinto febrero más cálido** en el historial de registros.

En el mapa de la Figura 1 se muestra la distribución espacial de las anomalías de temperatura del aire en superficie correspondientes a febrero de 2026. Los **tonos rojos** representan **anomalías positivas** (valores por encima del promedio climatológico), mientras que los **tonos azules** indican **anomalías negativas** (valores por debajo del promedio climatológico).

A escala global, en el hemisferio norte se observan extensas regiones con anomalías positivas: particularmente en el centro de Norteamérica, el norte de África, algunas regiones del occidente de Europa y el sur de Asia. En contraste, se identifican anomalías negativas en zonas del norte de Europa, Asia y Norteamérica.

### Anomalía de la temperatura del aire en superficie • Febrero 2026

Datos: ERA5 • Período de referencia: 1991–2020 • Crédito: C3S/ECMWF



**Figura 1.** Mapa de anomalías de temperatura del aire en superficie (°C) en febrero de 2026, tomando como referencia el periodo 1991-2020. Fuente: C3S/ECMWF.

El registro histórico sitúa a febrero de 2026 como un mes **cálido**, con una anomalía de **0.53°C** por arriba del promedio. El ranking de anomalías globales positivas tiene en primer lugar a **febrero de 2024** (0.81 °C), seguido de febrero de **2016** (0.69 °C), **febrero de 2025** (0.63 °C), **febrero de 2020** (0.60 °C) y finalmente, **febrero de 2026**. En la Figura 2 se puede observar la evolución de estas anomalías desde 1979 hasta la actualidad.

## Febrero de 2026, el quinto más cálido a nivel global

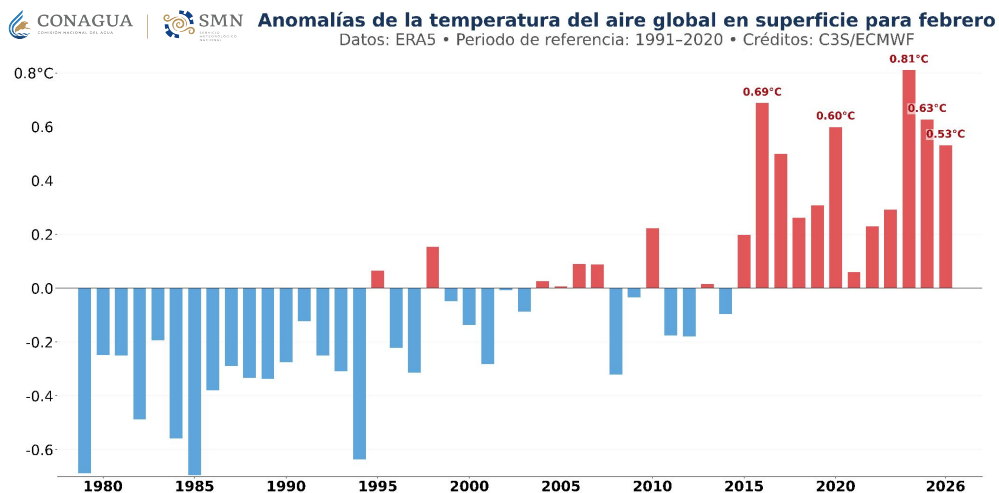


Figura 2. Serie temporal de las las anomalías de temperatura del aire en superficie para el mes de febrero, calculadas con respecto al periodo de referencia 1991-2020. Fuente: ERA5, C3S/ECMWF.

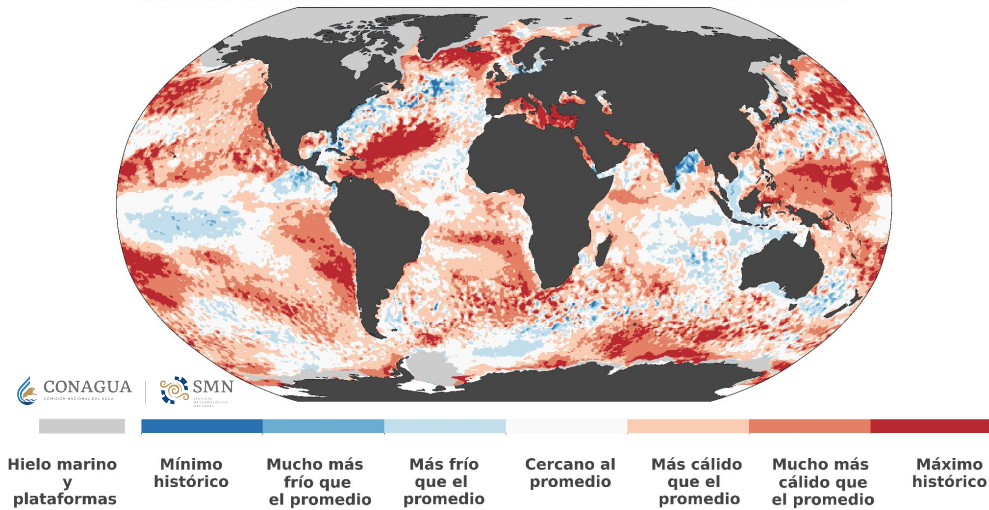
A nivel global, **la distribución de las anomalías de temperatura de la superficie oceánica** muestra una clara predominancia de anomalías por encima del promedio (Figura 3).

Según los datos de **ERA5**, la **temperatura promedio de la superficie del mar** para la región situada entre **60°S y 60°N de latitud**, se mantuvo en **niveles históricamente altos** durante todo febrero, con una **media mensual de 20.88 °C**, lo que representa **0.41 °C** por encima del promedio de 1991-2020. Este valor se posicionó como **el segundo más alto registrado para un mes de febrero** (empatado con 2025) y **0.18 °C** por debajo del récord de enero 2024, cuando el evento de El Niño estaba en curso.

La Figura 4 detalla la evolución diaria de la temperatura superficial del mar global (60°S–60°N). El gráfico contrasta los niveles alcanzados entre 2023 y 2026 frente al **promedio climatológico 1991–2020** y la variabilidad histórica de las últimas cuatro décadas. Hasta el momento, el año 2026 **supera** las **condiciones promedio** y se encuentra por **debajo** de las temperaturas alcanzadas al inicio del año **2024**.

**Anomalías y extremos de la temperatura de la superficie del mar • Febrero de 2026**

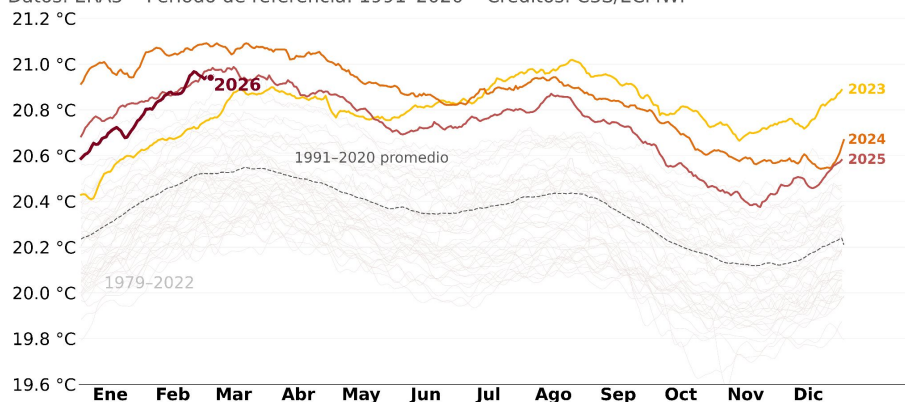
Datos: ERA5 1979–2026 • Período de referencia: 1991–2020 • Crédito: C3S/ECMWF



**Figura 3.** Mapa de anomalías y extremos de la temperatura superficial del mar (°C) correspondiente a febrero de 2026. Las categorías consideran el periodo de referencia (1991–2020) y los extremos el periodo (1979–2026). Fuente: C3S/ECMWF.

**Temperatura diaria de la superficie del mar para 60°S–60°N**

Datos: ERA5 • Período de referencia: 1991–2020 • Créditos: C3S/ECMWF



**Figura 4.** Serie de tiempo del promedio global de la temperatura de la superficie del mar (°C) en la franja latitudinal (60°S–60°N). Se resaltan los años 2023 (amarillo), 2024 (naranja), 2025 (rojo) y 2026 (rojo oscuro) frente al promedio climatológico (1991–2020) y los registros históricos (1979–2022). Fuente: C3S/ECMWF.

El Niño-Oscilación del Sur (ENOS), en febrero del 2026 se mantuvo en fase **La Niña**; es decir, las temperaturas del océano Pacífico tropical **estuvieron por debajo del promedio histórico**.

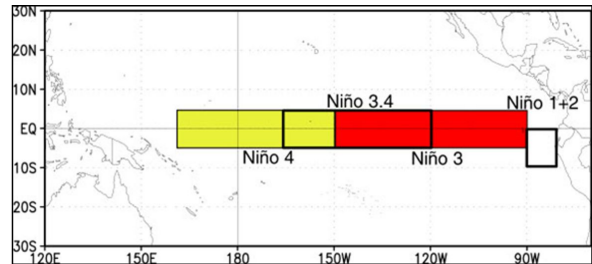
En la Figura 5 se muestran las regiones donde se monitorea la temperatura superficial del mar (TSM), siendo la región **Niño 3.4** la más representativa para definir el estado del ENOS. En la Figura 6 se observa que, desde **julio** de 2025 hasta principios de **enero** de 2026, predominó una tendencia a la **disminución de la temperatura** en dicha región. No obstante, con la información más reciente, en los meses de **febrero** y **marzo**, se aprecia un **incremento** en la anomalía térmica, lo que sugiere una transición hacia **condiciones neutrales**.

En la Tabla I se muestran los valores promedio de las anomalías registrados al 9 de marzo de 2026, en las regiones de monitoreo de ENOS.

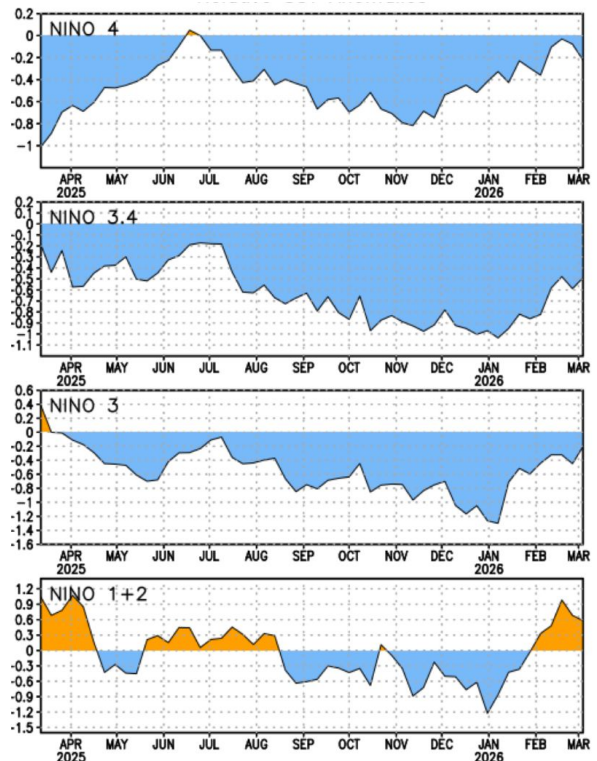
**Tabla I. Anomalías de TSM actuales, en las regiones de monitoreo de ENOS.**

Región ENOS	Anomalía (°C)
Niño 4	-0.2
Niño 3.4	-0.5
Niño 3	-0.3
Niño 1+2	0.6

## Durante febrero el ENOS se mantuvo en condición La Niña



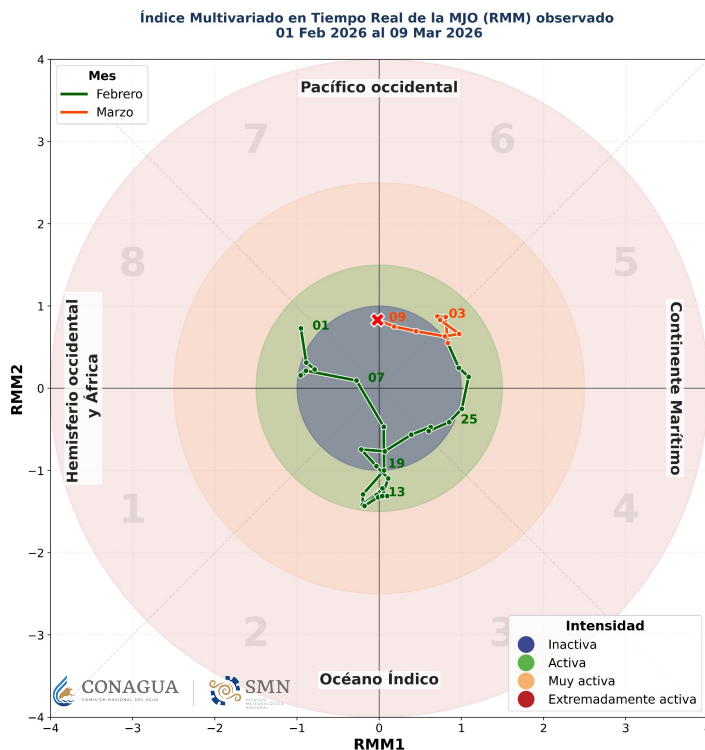
**Figura 5. Regiones de monitoreo de ENOS en el océano Pacífico tropical. El valor más representativo para la determinación de la fase del fenómeno es el reportado en la región Niño 3.4.**



**Figura 6. Serie de tiempo de las anomalías de la temperatura superficial del mar (°C) en las regiones de monitoreo de ENOS, desde marzo de 2025 hasta marzo de 2026. Se detallan las variaciones en las regiones Niño 1+2, Niño 3, Niño 3.4 y Niño 4.**

La **Oscilación Madden-Julian (MJO)** es una perturbación tropical que se desplaza hacia el este, a lo largo de la región ecuatorial. Actúa como un regulador clave de la variabilidad climática global: altera los patrones de precipitación, la circulación atmosférica y puede modular la intensidad y evolución del fenómeno ENOS, así como la actividad de los ciclones tropicales.

El Índice Multivariado en Tiempo Real de la MJO (**RMM**) es una herramienta útil que nos permite conocer la posición e intensidad de la MJO en el diagrama de intensidad y fase propuesto por Wheeler-Hendon (Figura 7). La distancia de un punto con respecto al centro indica la intensidad de la señal convectiva: cuanto más alejado se encuentre del círculo central, mayor será la actividad convectiva asociada. Por el contrario, si los puntos se ubican dentro del círculo central, la oscilación se considera inactiva.



**Figura 7.** Diagrama de fases de la MJO (Wheeler-Hendon Index) desde el 1 de febrero hasta el 9 de marzo de 2026. La distancia radial desde el centro indica la intensidad de la señal asociada a la Oscilación, mientras que los números (1-8) representan las fases (ubicaciones geográficas) del núcleo convectivo. Fuente: The Bureau of Meteorology, Australia.

La primera semana del mes, la actividad asociada a la MJO se mantuvo en baja intensidad (inactiva). Posteriormente, tuvo actividad convectiva intensa sobre el océano Índico entre los días 9 y 19 de febrero. A finales del mes, presentó una disminución de intensidad y continuó su desplazamiento hacia el este.

En nuestro país, los mayores incrementos de precipitación asociados a la MJO se suelen presentar cuando el fenómeno transiciona entre las **fases 1 y 2**.

Climatológicamente, el estado promedio de la atmósfera se define por las condiciones en niveles medios (ubicado aproximadamente a 500 hPa), en donde se forman circulaciones de viento conocidas como **sistemas de alta y baja geopotencial**, los cuales se correlacionan con los patrones de precipitación y anomalías positivas y negativas de temperatura.

Estadísticamente, las **anomalías de temperatura** a nivel global son **positivas** cuando en altura se presentan **anomalías de altura geopotencial positivas** (sistema de alta geopotencial).

La presencia de sistemas de **baja geopotencial** en altura (anomalías negativas de altura geopotencial), se asocian a **anomalías negativas de temperatura y precipitación**.

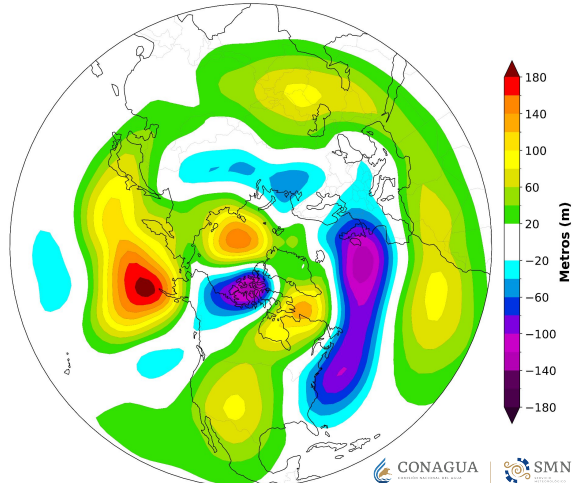
En la Figura 8 se muestra el mapa de anomalías de altura geopotencial para el hemisferio norte en febrero de 2026, donde se muestran sistemas de bajas y altas geopotenciales al norte de América y norte del océano Pacífico, consistentes con las anomalías de temperaturas del mes (Figura 1).

En la Figura 9, los contornos azules y verdes indican dónde se registraron incrementos (anomalías positivas) o

déficit (anomalías negativas) de precipitación. De acuerdo a los datos globales, en México se presentaron anomalías negativas en la zona oriente.

**Anomalía de Altura Geopotencial a 500 hPa • Febrero 2026**

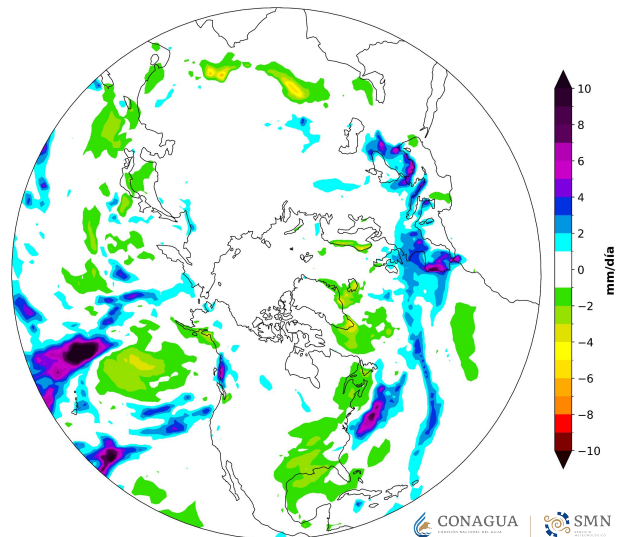
Datos: Reanálisis NCEP/NCAR  
Periodo de referencia: 1991-2020 • Crédito: NOAA Physical Sciences Laboratory



**Figura 8. Mapa de anomalías de altura geopotencial en el hemisferio norte correspondiente a febrero de 2026. Fuente: C3S/ECMWF.**

**Anomalía de precipitación • Febrero 2026**

Datos: ERA5 1979-2026  
Periodo de referencia: 1991-2020 • Crédito: C3S/ECMWF



**Figura 9. Mapa de anomalías de precipitación en superficie correspondiente a febrero de 2026. Fuente: C3S/ECMWF.**



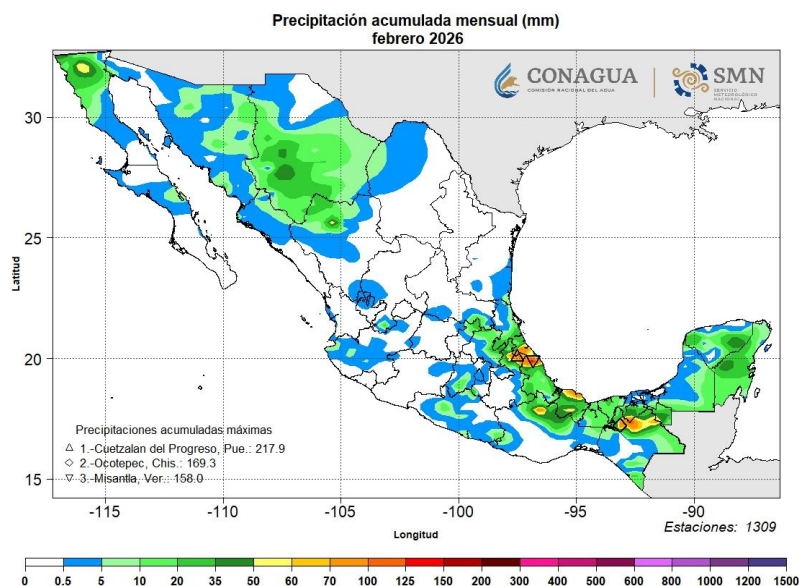
# PRECIPITACIÓN

---

Durante **febrero de 2026**, la dinámica atmosférica en México estuvo marcada por el tránsito de los **frentes fríos No. 33 al No. 37**. Sin embargo, la mayoría de estos sistemas fueron bloqueados por un **anticiclón en niveles medios de la atmósfera**, lo que impidió su desplazamiento hacia el **centro y sur** del país. Debido a que solo algunos frentes lograron bajar de manera limitada, las lluvias resultaron insuficientes y se concentraron únicamente en puntos específicos del **noroeste** y la vertiente del golfo de México, mientras que en el resto del territorio predominaron condiciones estables.

No obstante, a nivel nacional, se registró una lámina de lluvia promedio de **6.9 mm**. Esta cifra representa un **déficit de 11.8 mm**, situándose un **63.1 % por debajo** del promedio climatológico de referencia (1991–2020), que es de **18.7 mm**.

Puntualmente, los máximos acumulados de precipitación se registraron en la región oriente y sureste del país. Destacó la estación de **Cuetzalan del Progreso, Pue.**, con un acumulado mensual de **217.9 mm**, seguida de **Ocoatepec, Chis.**, con **169.3 mm**. Asimismo, en el estado de **Veracruz**, la estación de **Misantla** reportó un máximo diario de **142.0 mm** el día 22 (Figura 10).



**Figura 10. Mapa de precipitación acumulada [m] en febrero de 2026\*.**

\*Elaborado con información disponible en el Sistema de Información Hidrológica (SIH) de la CONAGUA en febrero de 2026.

En este contexto, el **análisis regional** de la precipitación en **febrero de 2026**, basado en datos de reanálisis **ERA5**, revela un escenario de déficit generalizado en las nueve regiones de México. A diferencia de meses anteriores, la distribución de la lluvia no mostró superávits en ninguna zona del país; por el contrario, zonas clave como el **noreste, centro-norte y noroeste** registraron condiciones secas con **anomalías negativas superiores al 70 %**.

**Por otro lado**, incluso en el **sur** y la **península de Yucatán**, donde estacionalmente se esperan mayores acumulados por sistemas invernales, se observaron déficits significativos que redujeron la precipitación a casi la mitad de su promedio histórico. El **oriente** fue la zona que más se aproximó a su climatología, aunque cerró el mes con un déficit del 24.8 %, consolidando un mes de febrero con una marcada escasez de humedad a nivel nacional. Los valores se resumen en la **Tabla II**.

**Tabla II. Promedio regional de precipitación acumulada y anomalía porcentual. Febrero de 2026\*.**

Región	Lluvia 2026 (mm)	Promedio (mm)	Diferencia porcentual
<b>Noroeste</b>	6.2	21.0	-70.4% (Mucho menos de lo normal)
<b>Norte</b>	8.7	15.1	-42.3% (Menos de lo normal)
<b>Noreste</b>	2.8	25.9	-89.2% (Mucho menos de lo normal)
<b>Centro-norte</b>	4.3	21.0	-79.8% (Mucho menos de lo normal)
<b>Centro-occidente</b>	7.6	19.7	-61.4% (Mucho menos de lo normal)
<b>Centro</b>	5.9	18.0	-67.4% (Mucho menos de lo normal)
<b>Sur</b>	13.6	27.5	-50.6% (Mucho menos de lo normal)
<b>Oriente</b>	20.0	26.6	-24.8% (Menos de lo normal)
<b>Península de Yucatán</b>	30.0	53.8	-44.3% (Menos de lo normal)

\*Elaborado con datos de reanálisis ERA5 (C3S/ECMWF). Periodo de referencia climatológica: 1991–2020.

El indicador de **anomalía estandarizada** que muestra la **Figura 11** permite medir qué tan extraordinario es el escenario actual. Este valor no solo refleja que llovió poco, sino qué tan inusual es el déficit de precipitación en cada región según su propia historia climática. El **noreste**, por ejemplo, destaca con la barra más negativa (-1.14), lo que indica que el nivel de escasez alcanzado este mes se aleja significativamente de lo esperado para esa zona.

## Escasez significativa de lluvia en el noreste del país

### Anomalía de precipitación estandarizada • Febrero 2026

Datos: ERA5 • Periodo de referencia: 1991-2020 • Crédito: C3S/ECMWF

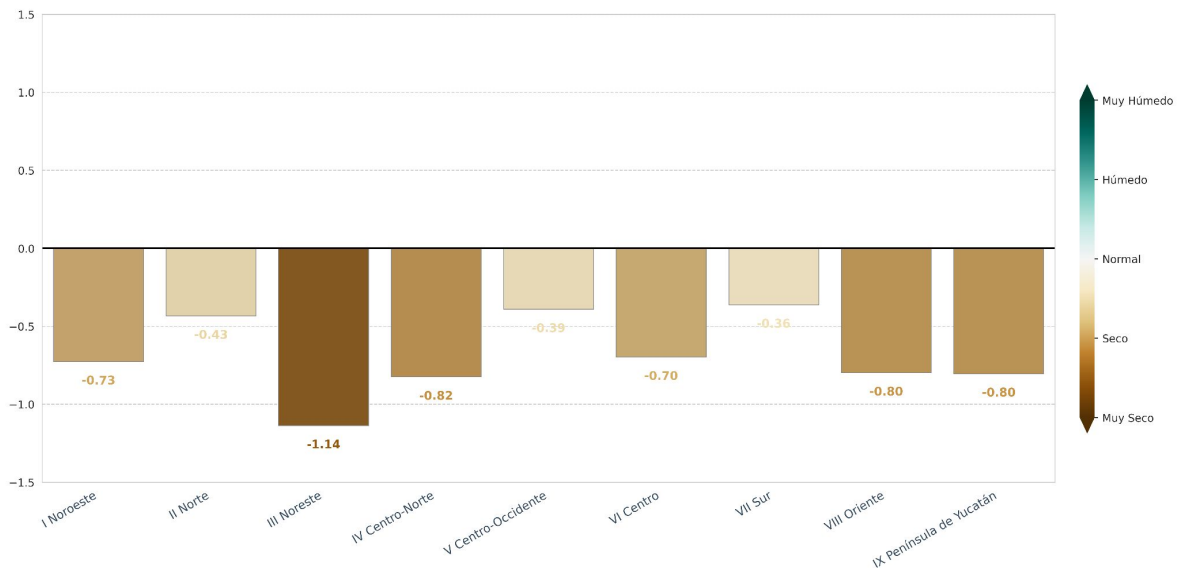
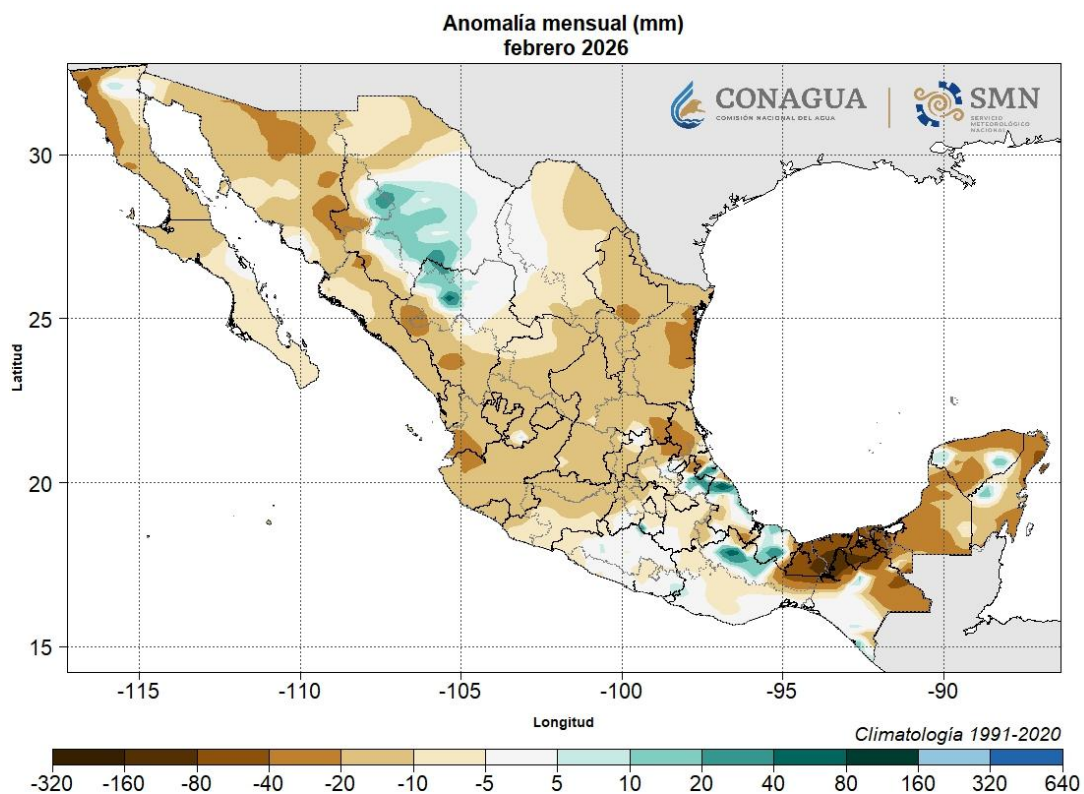


Figura 11. Anomalía estandarizada de precipitación por región. Febrero de 2026\*.

Es relevante notar que el **oriente** y la **península de Yucatán** presentan valores idénticos (-0.80). Esto sugiere que, a pesar de tener climas distintos, la falta de lluvia impactó a ambas regiones con la misma severidad estadística. En conjunto, el gráfico evidencia que la ausencia de humedad no fue un evento aislado, sino un fenómeno persistente que se extendió desde el **noroeste** hasta el **sur**, consolidando un mes de febrero significativamente más seco de lo habitual en todo el territorio mexicano.

\*Elaborado con datos de reanálisis ERA5 (C3S/ECMWF). Periodo de referencia climatológica: 1991-2020.

La distribución de anomalías de precipitación con datos del **SMN** (Figura 12) coincide en lo general con el déficit registrado por **ERA5** (Figura 11). Aunque el mapa muestra núcleos aislados de humedad (tonos verdes) en la sierra madre occidental y el sur, se trata de eventos puntuales que se diluyen al promediar por **región**. Este contraste metodológico confirma que, pese a existir lluvias locales detectadas por estaciones en tierra, la tendencia dominante reflejada por **ERA5** para febrero de 2026 fue de una marcada escasez de humedad en todo el territorio.



*Figura 12. Mapa de anomalía de precipitación en febrero de 2026\*.*

El estado de **Veracruz** registró una **lámina de precipitación** de **23.9 mm** durante **febrero de 2026** (Figura 13), lo que representa una **anomalía negativa de 10.2 mm** respecto a su **lámina promedio histórica** de **34.1 mm** (periodo de referencia 1991-2020). A pesar de que esta **lámina** fue la más alta registrada a nivel estatal para dicho mes, febrero de 2026 **se posiciona como un periodo con déficit**, situándose por debajo de la media histórica.

*\*Elaborado con información disponible en el Sistema de Información Hidrológica (SIH) de la CONAGUA en febrero de 2026.*

## Lámina de precipitación histórica • Veracruz (Febrero 1941-2026)

Periodo de referencia climatológica: 1991-2020 | Media: 34.1 mm

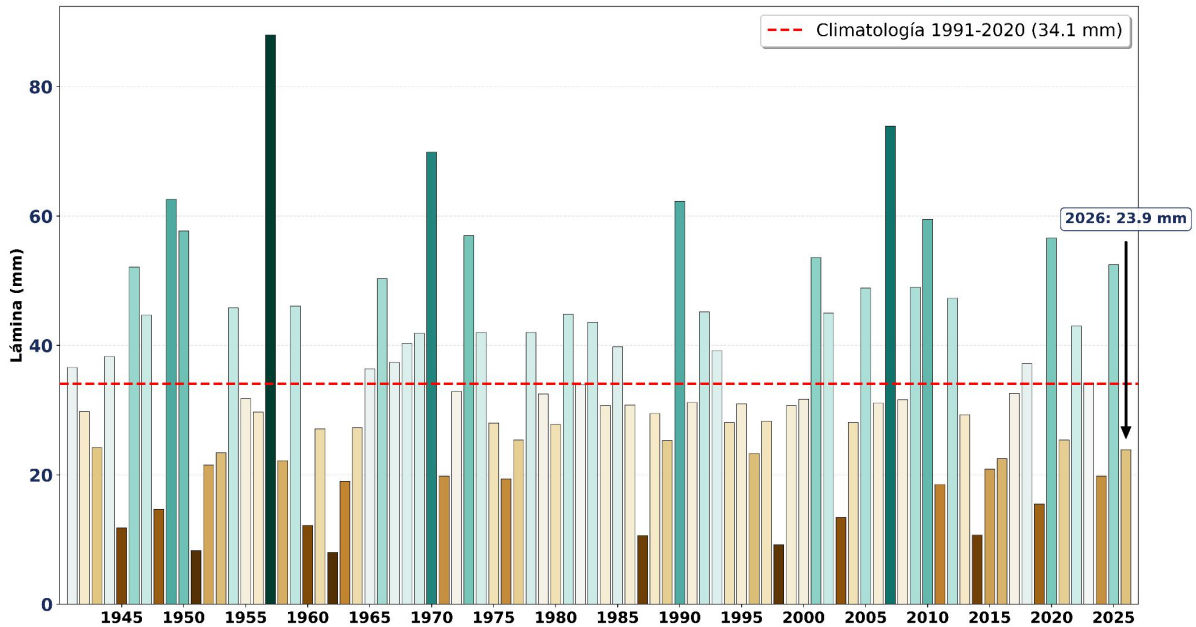


Figura 13. Comparativa de la lámina de precipitación mensual registrada en el municipio de Veracruz para el mes de febrero (periodo 1941-2026)\*.

En **febrero de 2026**, la precipitación promedio a nivel nacional fue de **6.9 mm**, valor que se ubicó aproximadamente **63.1 % por debajo** de la climatología 1991-2020 (**18.7 mm**). Con este acumulado, febrero de 2026 se posicionó como el **4º febrero más seco** del registro histórico nacional desde 1941, superado únicamente por los años 1996 (6.0 mm), 2014 (6.0 mm) y 2013 (6.4 mm). En la serie histórica, el febrero más lluvioso corresponde a **2010**, con **54.7 mm**, lo que evidencia la severa condición de déficit hídrico que prevaleció en el país durante este periodo.

La **Figura 14** presenta la estadística de las anomalías porcentuales de lluvia del periodo base (1991-2020) para el mes de febrero a nivel nacional. Las barras azules representan la anomalía de precipitación de cada año, y la línea roja continua muestra la media móvil de 5 años, lo que permite visualizar la tendencia de estas anomalías. Cuando una barra está por debajo de la línea central (cero), indica que las lluvias fueron inferiores al promedio; por el contrario, si se encuentra por encima, significa que lo superaron.

\*Elaborado con información disponible en el Sistema de Información Hidrológica (SIH) de la CONAGUA en febrero de 2026.

En este contexto, la barra correspondiente al año **2026** muestra un marcado déficit que refuerza la tendencia negativa observada en la media móvil de los últimos años.

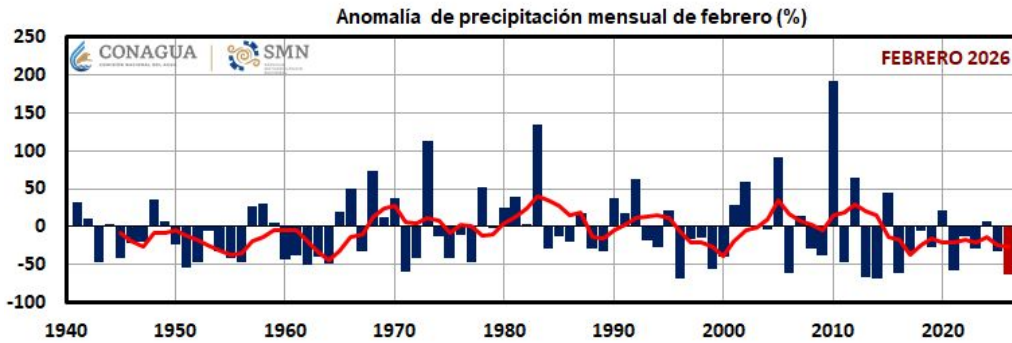


Figura 14. Anomalía de precipitación en por ciento de lo normal en febrero de 2026\*.

En la Figura 15 se observa la lámina de lluvia diaria promedio a nivel nacional para el mes de **febrero** (climatología 1991–2020), representada por el área de color azul marino. Las barras de color cian indican la lámina de lluvia diaria en **febrero de 2026**, donde se aprecia que, a diferencia de la tendencia general de déficit, solo **2 días** del mes superaron sus respectivos valores diarios climatológicos. Destacan los días **10 y 23 de febrero** como los periodos de mayor intensidad pluvial, siendo los únicos momentos del mes con picos significativos por encima de la normal.

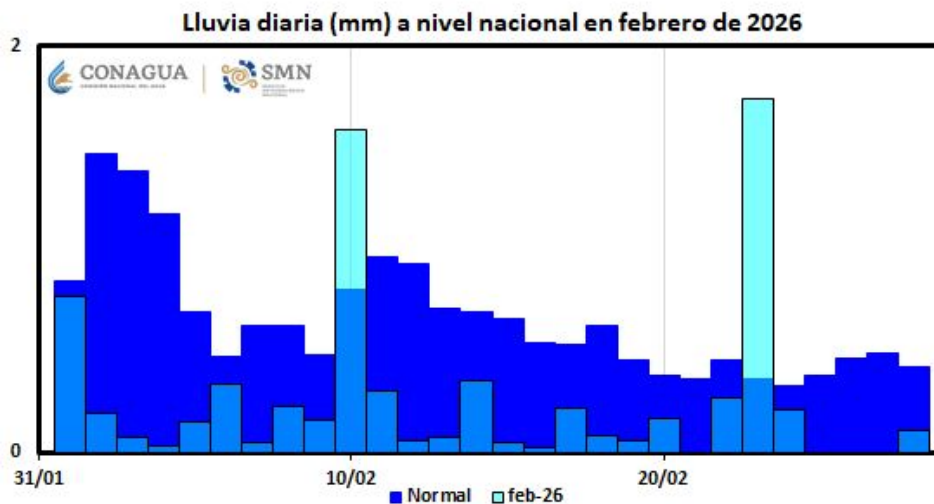
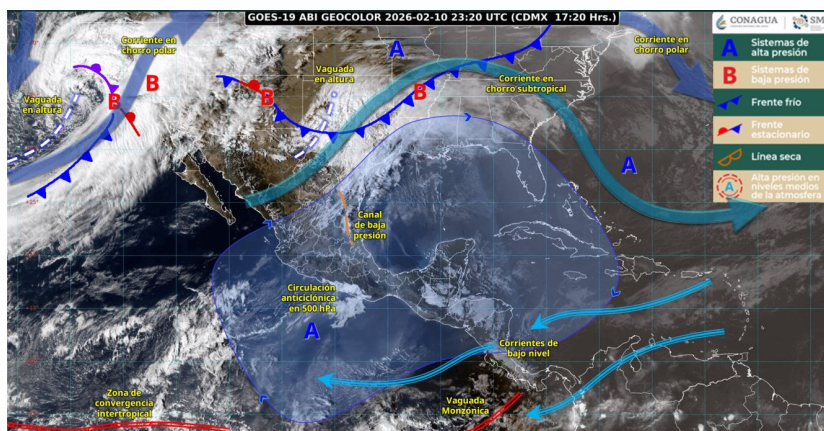
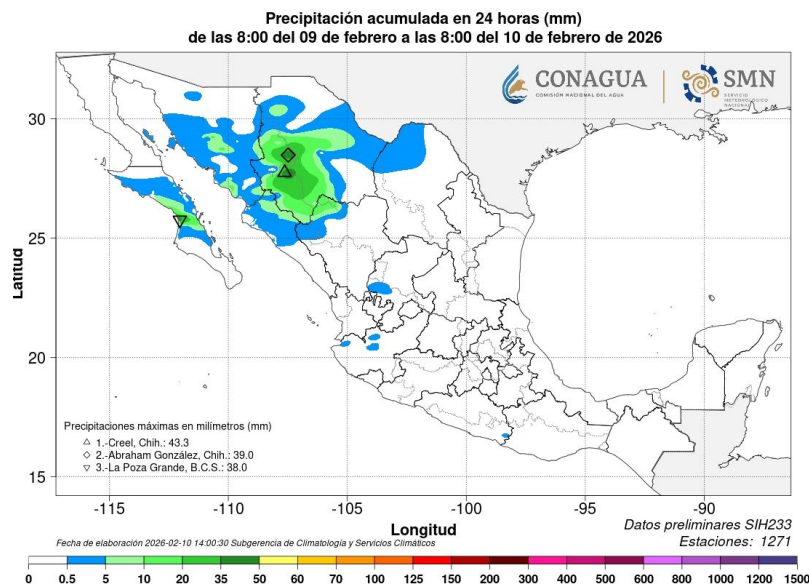


Figura 15. Lámina de lluvia diaria en febrero 2026\*.

\*Elaborado con información disponible en el Sistema de Información Hidrológica (SIH) de la CONAGUA en febrero de 2026.

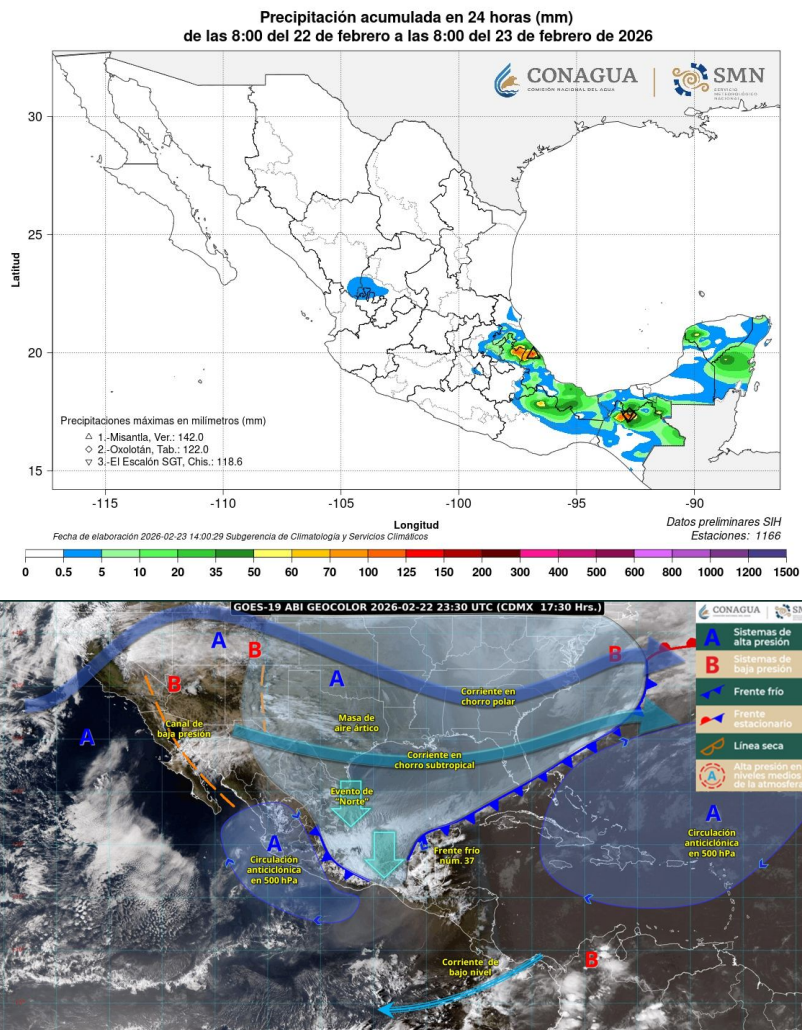
En la Figura 16, se detalla el primer pico de precipitación del mes ocurrido entre el 9 y 10 de febrero. El mapa de la izquierda muestra acumulados significativos en el noroeste y norte del país, destacando estaciones en Chihuahua como Creel (**43.3 mm**) y Abraham González (**39.0 mm**). De acuerdo con el mapa de sistemas meteorológicos de la derecha, este evento fue impulsado por la interacción de una **vaguada en altura**, el paso de un **frente frío** y la influencia de la **corriente en chorro polar**, sistemas que lograron romper la estabilidad atmosférica predominante en la primera quincena del mes.



**Figura 16. (Superior) precipitación a nivel nacional del 9 al 10 de febrero. (Inferior) sistemas meteorológicos del 10 de febrero.**

\*Elaborado con información disponible en el Sistema de Información Hidrológica (SIH) de la CONAGUA en febrero de 2026.

Por otro lado, la Figura 17 ilustra el evento pluvial más intenso de febrero de 2026, registrado entre los días 22 y 23. En el mapa de precipitación acumulada se observa un fuerte núcleo de lluvia en el oriente y sureste de México, con valores máximos sobresalientes en Misantla, Veracruz (**142.0 mm**) y Oxolotán, Tabasco (**122.0 mm**). Este máximo histórico mensual, que se refleja claramente como el pico más alto en la gráfica de la Figura 15, fue consecuencia directa del **frente frío núm. 37** y su respectiva **masa de aire ártico**, los cuales generaron un intenso **evento de "Norte"** en el golfo de Tehuantepec y condiciones de inestabilidad severa en la vertiente del golfo de México.



**Figura 17. (Superior) precipitación a nivel nacional del 22 a 23 de febrero. (Inferior) sistemas meteorológicos del 23 de febrero.**

\*Elaborado con información disponible en el Sistema de Información Hidrológica (SIH) de la CONAGUA en febrero de 2026.

Finalmente, todos estos valores de lámina de lluvia diaria y los máximos puntuales registrados por las estaciones automáticas a lo largo del territorio nacional se pueden visualizar en la **Tabla III**, la cual ofrece el desglose numérico que sustenta el comportamiento observado en los mapas y gráficos anteriores.

**Tabla III. Lámina de lluvia diaria estimada a nivel nacional y lluvias máximas diarias [mm] en febrero de 2026.**

Día	Lámina Diaria Nacional	Máxima Diaria	Localidad
1	0.2	29.7	Observatorio de Veracruz, Ver.
2	0.1	25.9	Juchipila, Zac.
3	0.0	36.0	Observatorio de Acapulco, Gro.
4	0.2	56.0	Cuetzalan del Progreso, Pue.
5	0.3	57.00	Sontecomapan, Ver.
6	0.1	10.0	El Rodeo, Jal.
7	0.2	37.8	Huixtla, Chis.
8	0.2	20.0	Indé, Dgo.
9	1.6	43.3	Creel, Chih.
10	0.3	18.0	Las Vírgenes, Chih.
11	0.1	12.0	Instituto Nacional de Innovación Agraria, Q. Roo
12	0.1	8.0	Mulegé, B.C.S.
13	0.4	15.5	Bacerac, Son.
14	0.1	12.5	Santa Rosa 2, Son.
15	0.0	12.9	Tomata, Ver.
16	0.2	33.8	Agua Hechicera, B.C.
17	0.1	7.0	Nevado de Toluca, Méx.*
18	0.1	18.0	El Carrizo, B.C.
19	0.2	45.6	Constitución de 1857, B.C.*
20	0.0	0.6	Presa Emilio López Zamora, B.C.*
21	0.3	76.0	Papantla, Ver.
22	1.7	142.0	Misantla, Ver.
23	0.2	40.7	Ocoteppec, Chis.
24	0.0	1.7	Angel Rosario Cabada, Ver.
25	0.0	0.0	Cosolapa, Oax.
26	0.0	3.0	Observatorio de Tlaxcala, Tlax.
27	0.1	43.0	Puente de Ixtla, Mor.
28	0.3	52.9	Observatorio de Valladolid, Yuc.

\*Automática CONAGUA.

En febrero de 2026, la disponibilidad de humedad se redujo drásticamente en comparación con el mes anterior, ya que únicamente **3 entidades** de la República mexicana experimentaron condiciones húmedas respecto a sus promedios históricos. De acuerdo con la Figura 18, estas entidades se ubicaron en la categoría de **"Más Húmedo"** (puntos verdes), destacando **Guerrero y Morelos** empatando en la posición 22 de sus registros históricos, seguidos por **Baja California Sur** en el lugar 27. Esta escasa presencia de humedad refleja el predominio de sistemas de alta presión que limitaron las precipitaciones a eventos muy puntuales.

Por otro lado, **10 entidades** registraron lluvias dentro del rango de lo **normal** respecto a su climatología histórica (puntos blancos), destacando Chihuahua y Durango como los más cercanos al espectro húmedo. Las **19 entidades restantes** se ubicaron en la categoría de **"Más Seco"** (puntos color marrón), representando la mayoría del territorio nacional. En este grupo, **San Luis Potosí y Tabasco** registraron las condiciones más críticas al situarse en el **1º lugar de sus febreros más secos**, seguidos por **Nuevo León y Tamaulipas** empatando en la posición 2º, lo que evidencia una marcada acentuación del déficit de lluvia a nivel estatal durante el segundo mes del año.

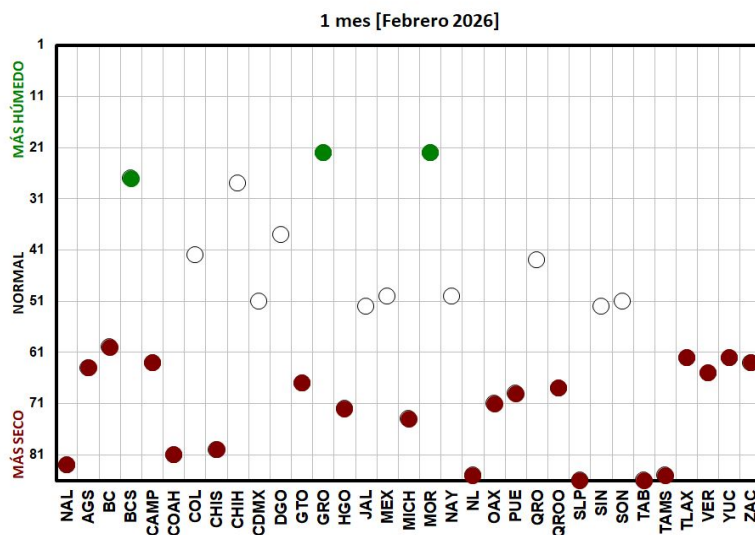


Figura 18. Clasificación de lluvias promedio a nivel estatal en febrero de 2026\*.

\*Elaborado con información disponible en el Sistema de Información Hidrológica (SIH) de la CONAGUA en febrero de 2026.



CONAGUA  
COMISIÓN NACIONAL DEL AGUA



SMN  
SERVICIO METEOROLÓGICO NACIONAL

# SEQUÍA

---

Al 28 de febrero de 2026, las áreas con sequía de moderada a excepcional (D1 a D4) se concentraron principalmente en las regiones norte y noreste de México, donde persistieron precipitaciones por debajo de lo normal y temperaturas por arriba del promedio climatológico. En la península de Yucatán, particularmente en el norte del estado de Yucatán, se mantuvieron áreas con sequía de moderada a severa (D1 a D2).

Asimismo, se identificaron zonas con sequía moderada (D1) en regiones de Sinaloa, Michoacán, Oaxaca y Chiapas, donde los acumulados de precipitación en febrero no fueron suficientes para revertir completamente las condiciones secas observadas previamente. Por otra parte, se registraron condiciones anormalmente secas (D0) en áreas de Nayarit, Morelos y Puebla (Figura 19).

En términos generales, gran parte del territorio nacional permaneció libre de sequía, como se observa en la Figura 20, que muestra la variación temporal de la superficie afectada por sequía a nivel nacional de los últimos cinco meses. Al término de febrero, el 7.4 % del país registró sequía de moderada a excepcional (D1 a D4), cifra 0.8 % mayor que lo registrado el 31 de enero de 2026 (6.6 %).

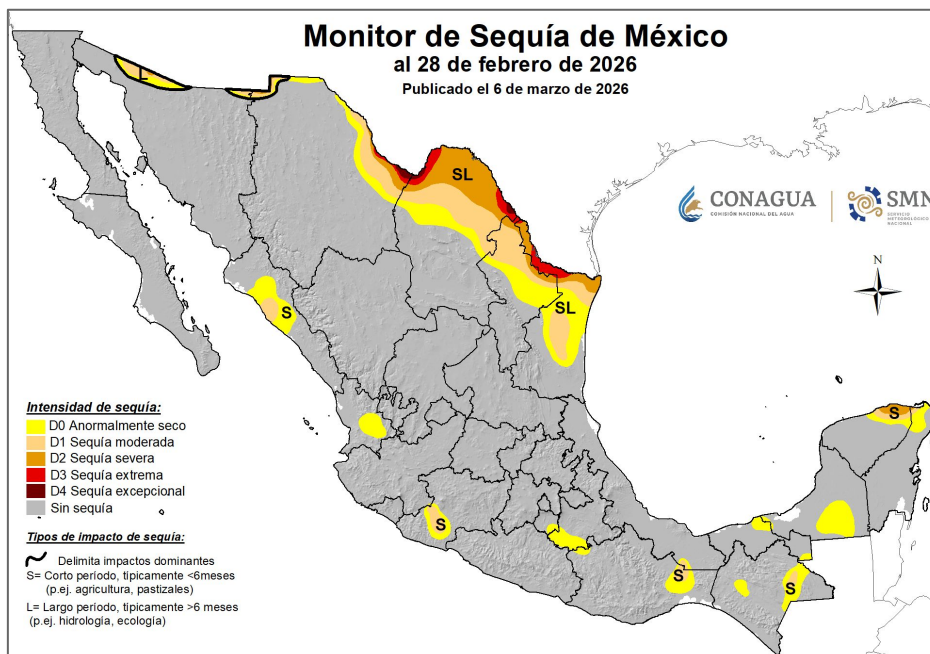


Figura 19. Mapa del Monitor de Sequía en México (MSM) al 28 de febrero de 2026.

**Porcentaje de área con sequía en México  
octubre 2025 - febrero 2026**

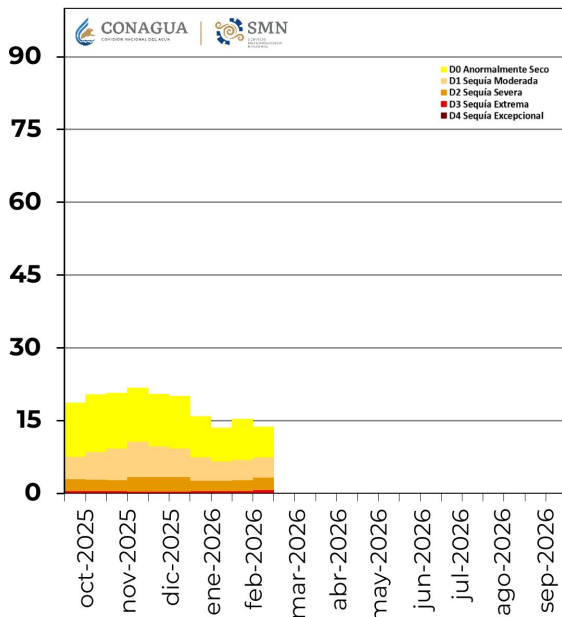


Figura 20. Porcentajes de área con sequía a nivel nacional de octubre 2025 a febrero 2026.

Durante febrero de 2026, la interacción de diversos sistemas meteorológicos, entre ellos frentes fríos, vaguadas y la corriente en chorro polar, favoreció la ocurrencia de precipitaciones por arriba del promedio en zonas puntuales de Chihuahua, así como en el oriente y sur de México, como se describe en la sección correspondiente a precipitación de este reporte.

En el mapa de comparación de las condiciones de sequía del 28 de febrero y del 31 de enero de 2026 (Figura 20), se observa que las llu-

vias registradas en febrero permitieron la disminución de las condiciones anormalmente secas (D0) en zonas de Chihuahua, Chiapas y Tabasco.

En contraste, en algunas áreas del noreste del país se registró un incremento en la intensidad y la extensión de las áreas con sequía, particularmente en el norte de Nuevo León y Tamaulipas. Sin embargo, la mayor parte de las áreas afectadas por sequía permanecieron sin cambios significativos entre ambos periodos de análisis (zonas grises en el mapa) (Figura 21).

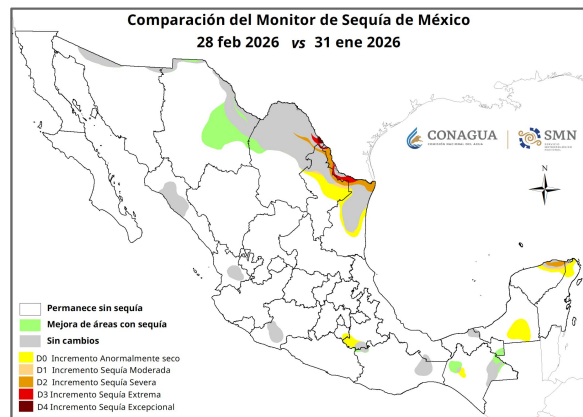


Figura 21. Comparación del Monitor de Sequía en México del 28 de febrero vs. del 31 de enero de 2026.

**El 7.4 % de México  
tiene sequía de  
moderada a  
excepcional**

En cuanto a la distribución de las áreas con sequía por entidad federativa, **durante febrero de 2026, trece entidades permanecieron libres de sequía**, mientras que **siete registraron únicamente condiciones anormalmente secas (D0)**. Los estados con sequía dentro de las categorías de moderada a excepcional (D1 a D4) fueron **Coahuila, Chiapas, Chihuahua, Michoacán, Nuevo León, Oaxaca, Quintana Roo, Sonora, Sinaloa, Tamaulipas, Veracruz y Yucatán** (Figura 22).

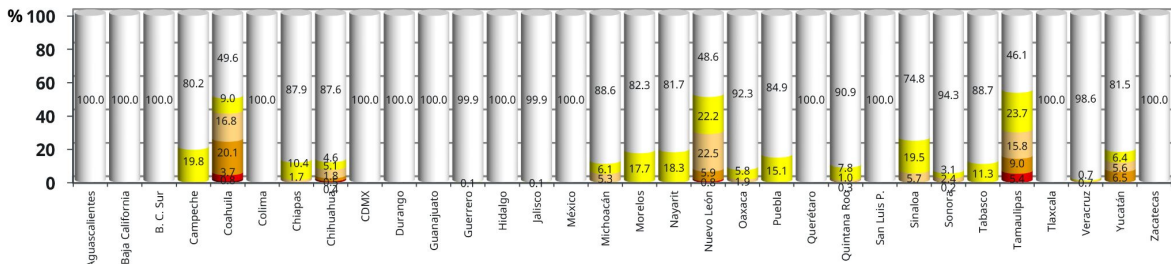


Figura 22. Porcentajes de áreas con sequía en las entidades federativas del país al 28 de febrero de 2026.

En febrero de 2026, considerando el total de municipios del país (2478), **2244 municipios se mantuvieron libres de sequía**. Por otra parte, **131 municipios presentaron condiciones anormalmente secas (D0)**, lo que refleja déficits iniciales de humedad que podrían favorecer el desarrollo de sequía. Finalmente, **103 municipios se clasificaron dentro de** las categorías de sequía de moderada a excepcional (D1 a D4). En la **Tabla IV** se muestran los porcentajes mensuales de áreas con sequía a nivel nacional en 2026.

**Tabla IV. Porcentajes de áreas con sequía en México - 2026.**

Fecha	Sin afectación	D0	D1	D2	D3	D4
31-ene-2026	86.5	6.9	4.0	2.1	0.4	0.1
28-feb-2026	86.3	6.3	4.2	2.5	0.6	0.1
31-mar-2026						
30-abr-2026						
31-may-2026						
30-jun-2026						
31-jul-2026						
31-ago-2026						
30-sep-2026						
31-oct-2026						
30-nov-2026						
31-dic-2026						



# TEMPERATURAS

---

Durante febrero de 2026, el comportamiento de las temperaturas en el país estuvo determinado por el paso del frente frío núm. 32 que afectó al país del 29 de enero al 3 de febrero (sistema no contabilizado en febrero por haber iniciado en enero), y los núm. 33 a núm. 37 enumerados en febrero. Estos sistemas afectaron de manera directa las regiones noroeste, norte y noreste, así como a la vertiente del golfo de México, la península de Yucatán y el sureste del territorio nacional, ocasionando un descenso notable de las temperaturas, específicamente en estas últimas regiones.

A partir de la primera semana del mes, diversos sistemas anticiclónicos en niveles medios de la atmósfera influyeron en gran parte del país durante distintos periodos, lo que favoreció el registro de temperaturas elevadas.

Como consecuencia de estos sistemas meteorológicos, la **temperatura media nacional en febrero de 2026 fue de 19.3 °C**, valor que se sitúa 1.3 °C por arriba del promedio climatológico del periodo 1991-2020. Esta cifra posiciona a febrero de 2026 como el más cálido del registro histórico desde 1953, igualando el récord establecido en febrero de 2025 (Figura 23).

## Febrero de 2026, 1° más cálido del registro histórico nacional desde 1953

### Igualeó el récord establecido en febrero de 2025

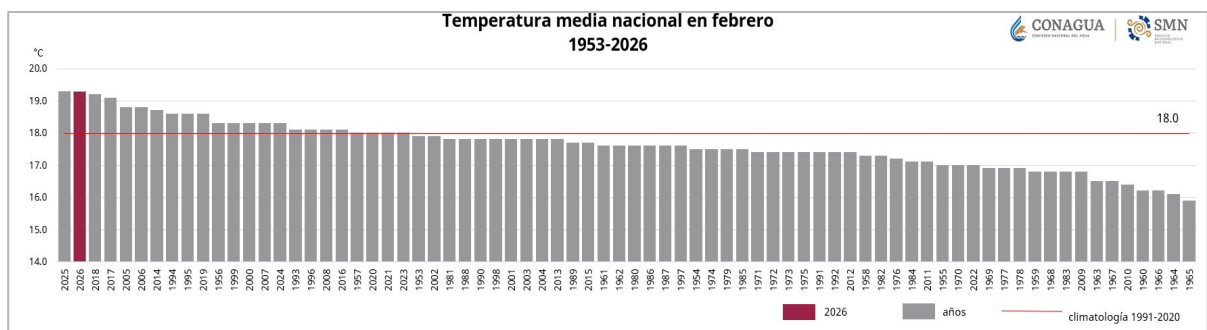


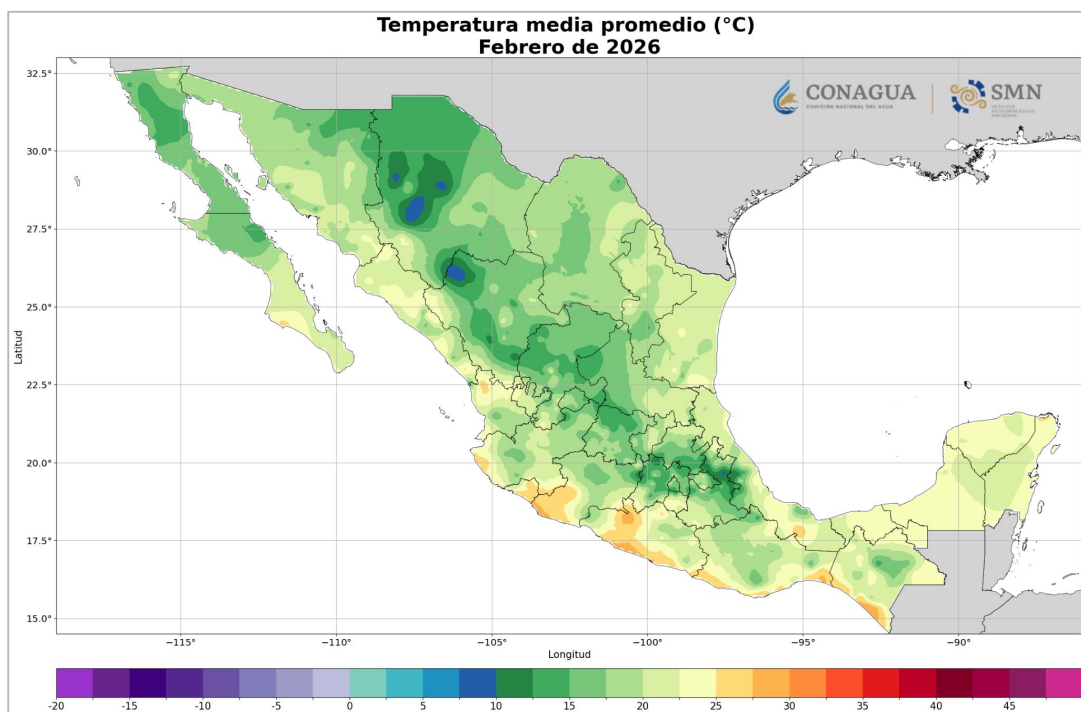
Figura 23. Clasificación de la temperatura media [°C] de febrero 1953-2026\*.

\*Elaborado con información disponible en el Sistema de Información Hidrológica (SIH) de la CONAGUA en febrero de 2026.

Como se observa en la Figura 24, la temperatura media mensual osciló entre los 12 y 25 °C en la mayor parte de México. Se registraron temperaturas medias **inferiores a los 10 °C** en las zonas serranas de **Chihuahua y Durango**, mientras que en las costas de Colima, Michoacán, Guerrero, Oaxaca y Chiapas, las temperaturas medias superaron los 25 °C.

A pesar de la incidencia de los frentes fríos, las temperaturas medias registradas representaron **anomalías positivas en la mayor parte del territorio mexicano** (Figura 25). Destacan los estados del norte, específicamente zonas puntuales de Coahuila y Nuevo León con diferencias superiores a los 5 °C respecto a la normal, así como el centro del país y el sur de Baja California Sur.

En contraste, en los **estados del sur, la península de Yucatán y el sur de Veracruz**, las temperaturas medias presentaron **anomalías negativas**. Estas fueron menores a -5 °C en Oaxaca, Chiapas y Veracruz, así como en zonas puntuales del norte y noroeste. En la península de Yucatán, los valores se mantuvieron entre 2 y 5 °C por debajo del promedio climatológico.



**Figura 24. Temperatura media [°C] en febrero de 2026\*.**

\*Elaborado con información disponible en el Sistema de Información Hidrológica (SIH) de la CONAGUA en febrero de 2026.

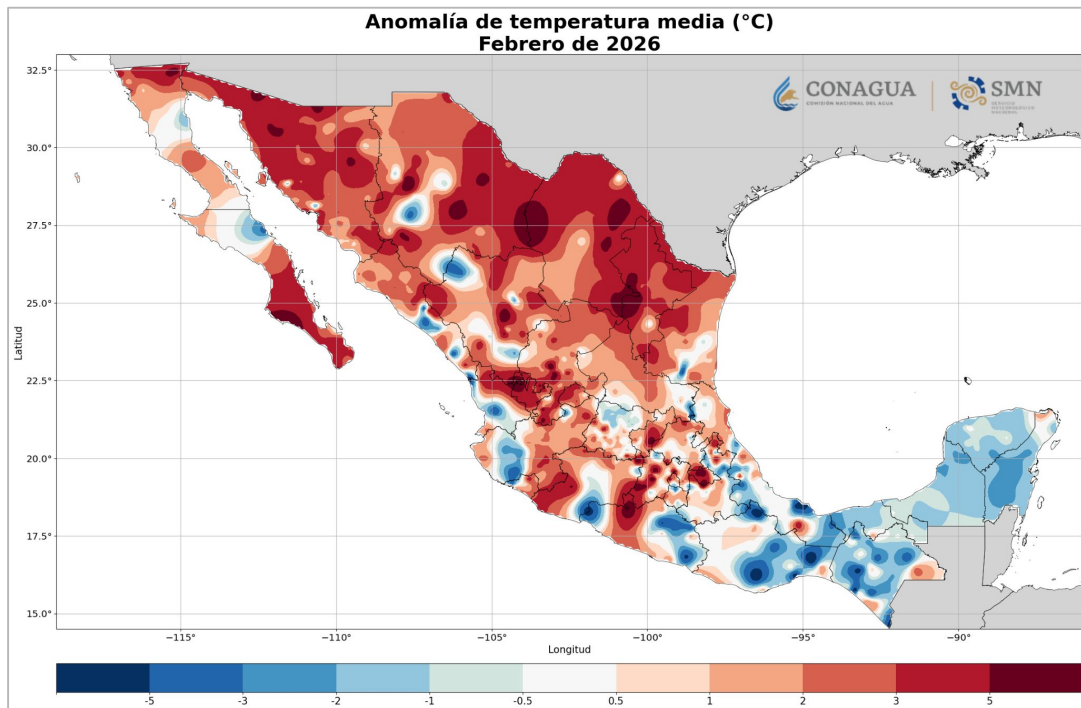


Figura 25. Anomalía de temperatura media [°C] en febrero de 2026\*.

En la Figura 26, se muestra la clasificación de la temperatura media estatal en febrero de 2026, en ella podemos observar que los estados de Campeche, Chiapas, Quintana Roo, Tabasco, Veracruz y Yucatán registraron **temperaturas promedio menores a su climatología**, siendo consistente con la distribución de las anomalías negativas mencionadas anteriormente.

El resto de las entidades presentaron condiciones **más cálidas de lo habitual** (Figura 26), sobresaliendo Nuevo León, Coahuila y Durango como los estados con las temperaturas medias estatales más

cálidas; en el caso de **Nuevo León**, su temperatura promedio representó una **anomalía de hasta 4 °C** respecto al periodo climatológico de 1991-2020.

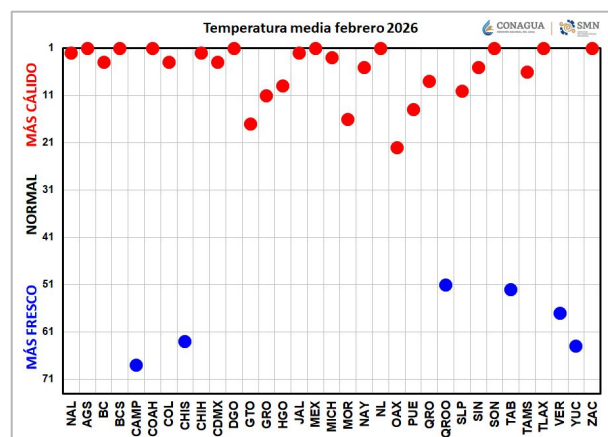


Figura 26. Clasificación de la temperatura media estatal en febrero de 2026\*.

\*Elaborado con información disponible en el Sistema de Información Hidrológica (SIH) de la CONAGUA en febrero de 2026.

Finalmente, el panorama para las temperaturas máximas y mínimas promedio estatales mostró un comportamiento similar. Debido a la influencia de los frentes fríos, la **península de Yucatán, Chiapas, Tabasco y Veracruz** se mantuvieron con temperaturas **dentro de los parámetros normales o ligeramente menores**, como se observa en las Figuras 27 y 28.

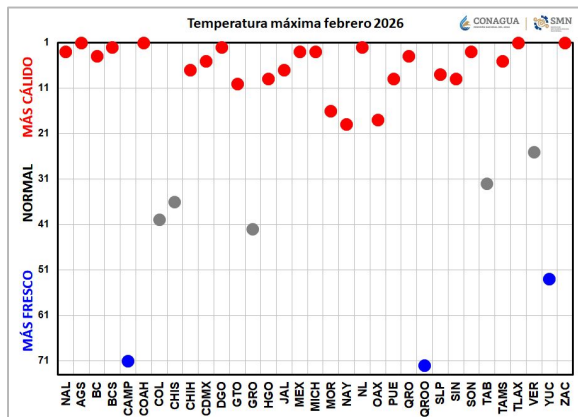


Figura 27. Clasificación de la temperatura máxima estatal en febrero de 2026\*.

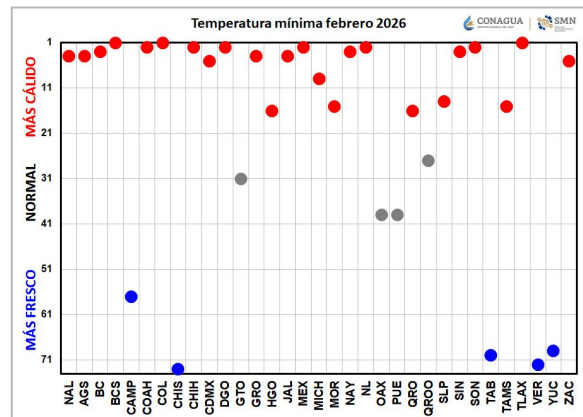


Figura 28. Clasificación de la temperatura mínima estatal en febrero de 2026\*.

## En el sur y península de Yucatán, las temperaturas se situaron por debajo del promedio climatológico

A nivel nacional, la **temperatura máxima promedio** de este mes fue de **27.8 °C**, valor situado **1.5 °C por arriba** del promedio climatológico. Como se muestra en la Figura 29, los valores de temperatura máxima más elevados se registraron en los estados del centro-occidente y sur del territorio nacional, así como en Sinaloa. En contraste, las temperaturas máximas de menor magnitud en el periodo se presentaron en Baja California, Chihuahua y los estados de la región central.

En cuanto a la distribución de los percentiles de temperatura máxima (Figura 30), en regiones del noroeste, norte, centro y centro-occidente, así como de manera particular en el estado de Guerrero, se registraron valores dentro del percentil 80. Esto indica que las temperaturas se ubicaron dentro del 20% de los registros más altos observados durante el periodo de referencia 1950-2025.

\*Elaborado con información disponible en el Sistema de Información Hidrológica (SIH) de la CONAGUA en febrero de 2026.

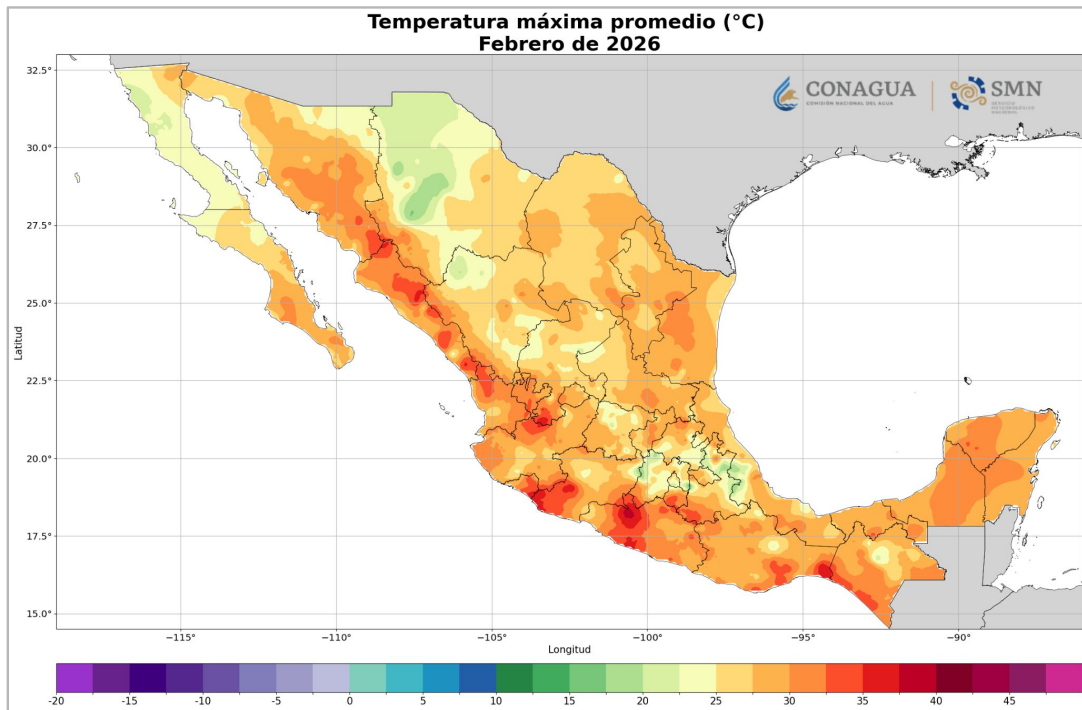


Figura 29. Temperatura máxima [°C] promedio en febrero de 2026\*.

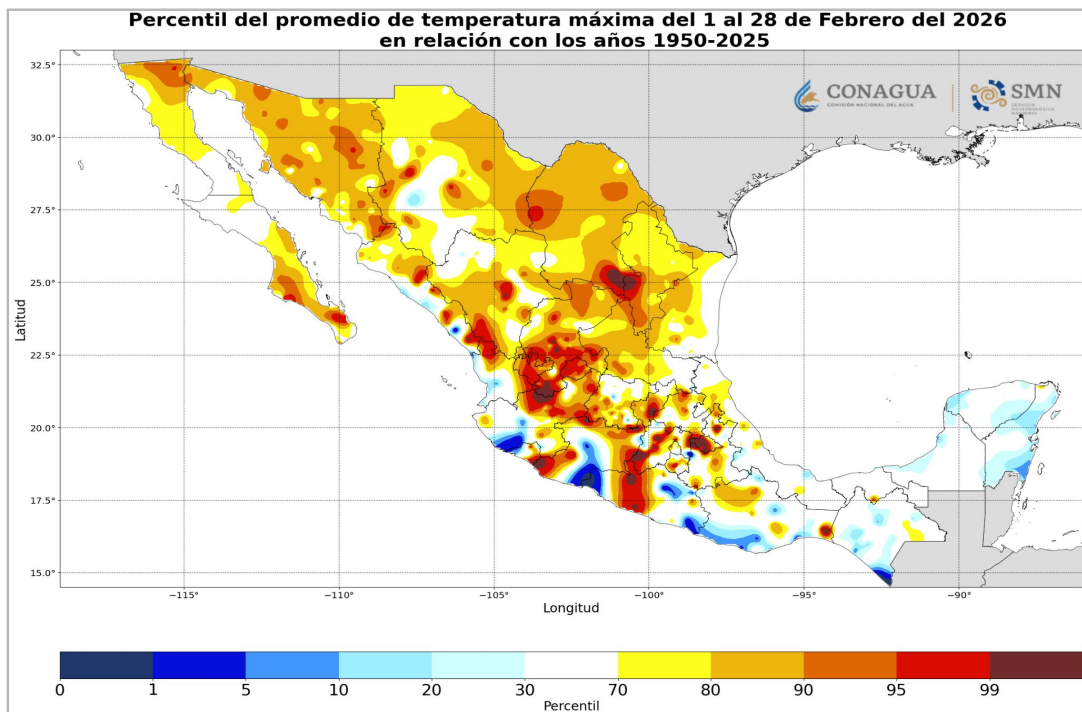


Figura 30. Percentil de temperatura máxima promedio en febrero de 2026 con relación a los años 1950-2025\*.

\*Elaborado con información disponible en el Sistema de Información Hidrológica (SIH) de la CONAGUA en febrero de 2026.

La **temperatura mínima nacional** se situó en **10.7 °C**, lo que representa una anomalía de **1.0 °C por arriba** del promedio climatológico (1991-2020).

Según se detalla en la Figura 31, los **valores más bajos** (inferiores a 0 °C) se concentraron en **regiones altas de los estados de Chihuahua y Durango** y algunas zonas puntuales del **Valle de México**; no obstante, el rango de **0 a 10 °C** predominó en las regiones **norte, noroeste, noreste, centro, centro-norte y centro-occidente**. Esta distribución de las temperaturas se vio influenciada directamente por los sistemas frontales que afectaron al territorio, sin embargo, para las **regiones costeras del país y la península de Yucatán**, la temperatura mínima promedio de febrero osciló entre los **10 y 25 °C**, es decir, se presentaron temperaturas mínimas **más cálidas respecto al resto del país**.

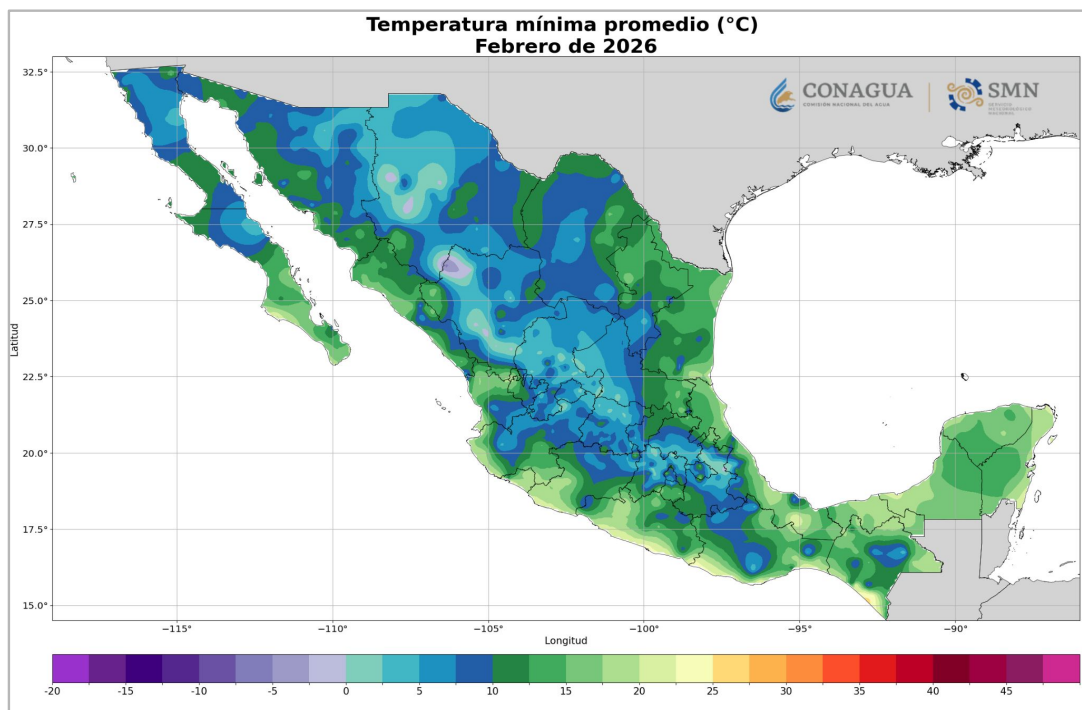


Figura 31. Temperatura mínima [°C] promedio en febrero de 2026\*.

Por su parte, el mapa de percentiles de temperatura mínima (Figura 32) revela que gran parte del territorio nacional registró valores dentro del percentil 95, situándose en el 20% de los registros más cálidos de la serie histórica 1950-2024.

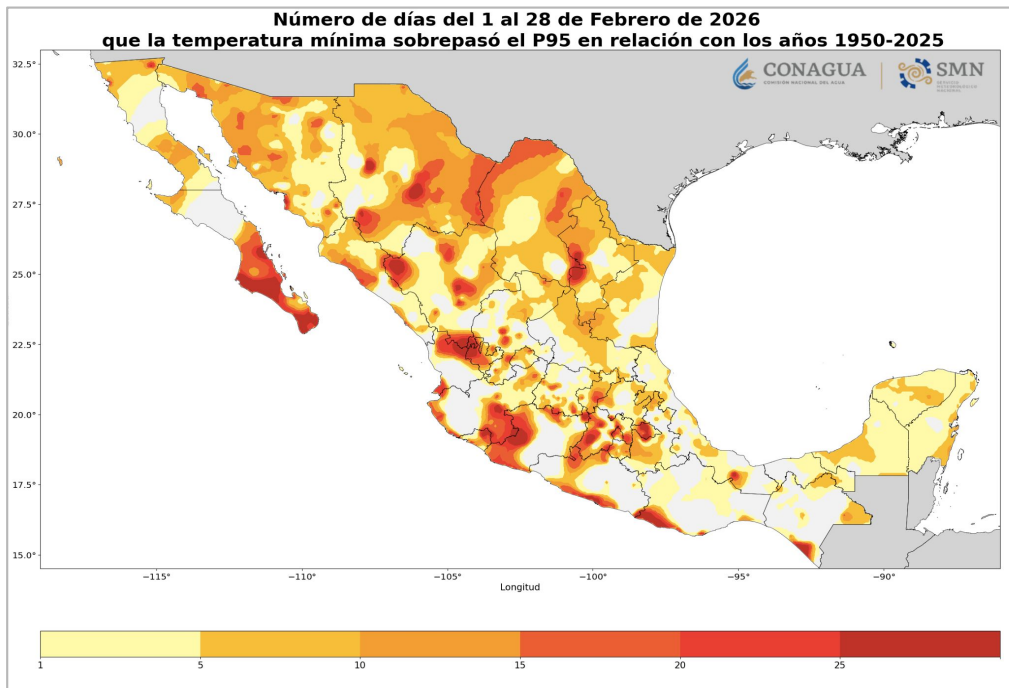


Figura 32. Número de días en que la temperatura mínima sobrepasó el percentil 95 en febrero de 2026 con relación a los años 1950-2025\*.

Como se observa en la Figura 33, la marcha diaria de las temperaturas a nivel nacional mostró un incremento gradual tanto en los valores máximos como en los mínimos y, en consecuencia, en las medias.

Durante la mayor parte de febrero, las temperaturas se mantuvieron por arriba de lo normal. Sin embargo, se identifican dos descensos significativos asociados al tránsito de frentes fríos, los cuales interrumpieron la tendencia al alza. Hacia el final del mes, se registró la anomalía positiva más acentuada del periodo.

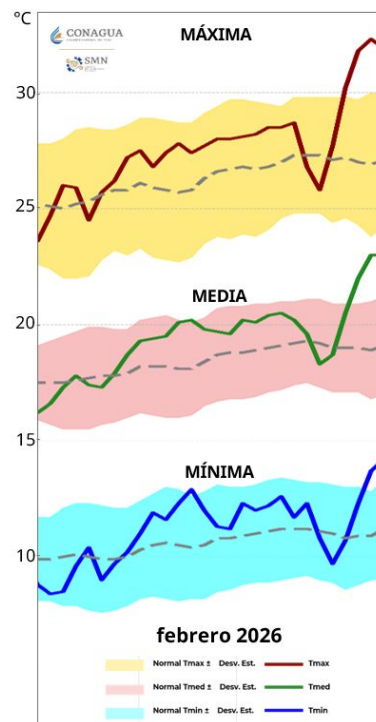


Figura 33. Marcha diaria de la temperatura [°C] a nivel nacional en febrero de 2026\*\*.

\*Elaborado con información disponible en el Sistema de Información Hidrológica (SIH) de la CONAGUA en febrero de 2026.

\*\* Elaborada a partir de mallas diarias con resolución de 9 kilómetros.

La Tabla V muestra los valores diarios a nivel nacional de las temperaturas promedio máximas, medias y mínimas ordenadas de mayor a menor.

En ella podemos observar que los días **27 y 28 de febrero** se identificaron como el periodo con la **temperatura media diaria más elevada del mes**, alcanzando una temperatura media nacional de **21.8 °C** en ambas fechas. A pesar de compartir el mismo promedio, la temperatura diaria presentó variaciones: el día 27 registró una temperatura máxima promedio nacional de **31.2 °C y una mínima de 12.4 °C**, mientras que el día 28 reportó **30.9 °C y 12.8 °C**, respectivamente. Lo anterior indica que, aunque la media fue idéntica, el día 27 tuvo un rango térmico mayor.

En contraste, los registros de **temperatura media más bajos** se concentraron durante la **primera semana de febrero**. El día 1 representó la jornada con la temperatura media nacional más baja del periodo, con un valor de **15.8 °C**. Durante este día, la temperatura máxima promedio nacional se situó en 23.5 °C, mientras que la mínima promedio nacional alcanzó los 8.1 °C, los cuales constituyen los valores diarios más bajos observados en el mes para ambas variables.

**Tabla V. Promedio de temperaturas nacionales diarias en febrero de 2026\*.**

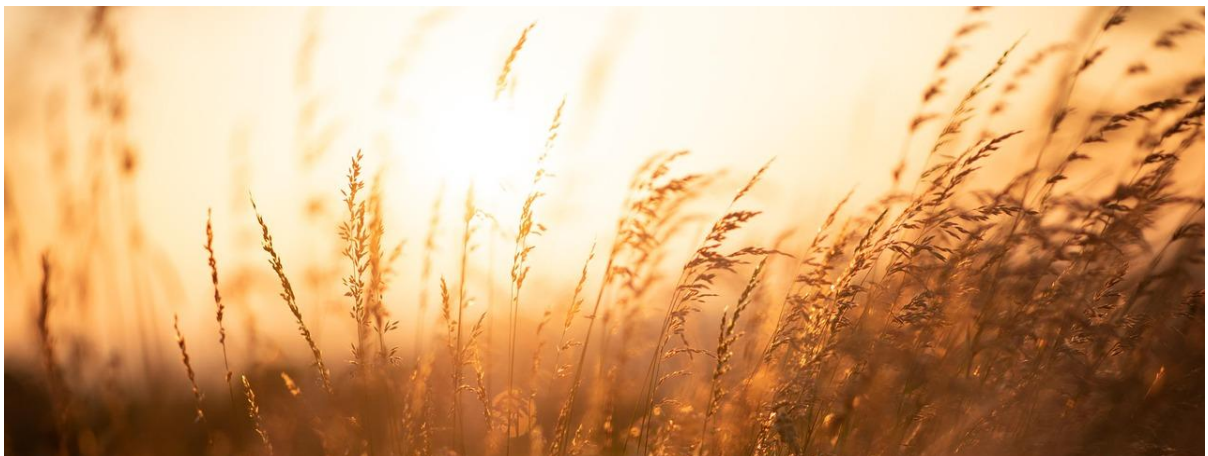
Día	Máxima	Media	Mínima
<b>27/02/2026</b>	<b>31.2</b>	<b>21.8</b>	<b>12.4</b>
<b>28/02/2026</b>	<b>30.9</b>	<b>21.8</b>	<b>12.8</b>
26/02/2026	31.3	21.3	11.2
18/02/2026	29.7	20.4	11
19/02/2026	29.6	20.4	11.2
20/02/2026	29.6	20.4	11.2
17/02/2026	29.1	20.2	11.3
13/02/2026	28.3	20.1	11.9
14/02/2026	28.4	20.1	11.8
21/02/2026	29.4	20.1	10.8
12/02/2026	28.5	19.9	11.4
16/02/2026	28.7	19.7	10.6
25/02/2026	29.8	19.7	9.6
15/02/2026	28.3	19.6	10.8
11/02/2026	28.0	19.4	10.7
10/02/2026	27.3	19.2	11.1
09/02/2026	27.6	18.8	10.1
22/02/2026	26.0	18.7	11.4
08/02/2026	27.2	18.5	9.8
07/02/2026	26.8	18.1	9.5
24/02/2026	27.4	17.9	8.5
04/02/2026	25.9	17.7	9.5
03/02/2026	26.2	17.4	8.7
06/02/2026	26.2	17.4	8.7
05/02/2026	24.3	17.1	9.9
23/02/2026	25.6	17.1	8.7
03/02/2026	24.9	16.7	8.5
<b>01/02/2026</b>	<b>23.5</b>	<b>15.8</b>	<b>8.1</b>

\*Elaborado con información disponible en el Sistema de Información Hidrológica (SIH) de la CONAGUA en febrero de 2026.

Finalmente, de manera puntual, el registro máximo de temperatura fue de **43.3 °C** registrado en la estación **Ciudad Fernández**, en el municipio del mismo nombre en San Luis Potosí el día **19 de febrero**. Mientras que la lectura más baja de temperatura fue de **-13.0 °C** en la estación **La Rosilla**, en el municipio de Guanaceví, **Durango** (Figura 34).



Figura 34. Registro máximo y mínimo nacional de temperatura [°C] en febrero de 2026\*.



En las Tabla V y VI se muestran los registros máximos y mínimos de temperatura por entidad federativa observados en febrero.

**Tabla VI. Temperaturas máximas [°C] extremas a nivel estatal en febrero de 2026.**

Estado	T. máx.	Estación	Fecha
Ags.	35.0	La Codorniz, Ags.	21/02/2026
B.C.	41.7	Mexicali, B.C.	28/02/2026
B.C.S.	40.3	Bahía de Loreto, B.C.S. SMN*	26/02/2026
Camp.	39.0	Palizada, Camp.	27/02/2026
Chih.	42.0	Urique, Chih.	27/02/2026
Chis.	41.5	Juan de Grijalva, Chis.	21/02/2026
Coah.	40.8	Nueva Rosita, Coah. SMN*	26/02/2026
Col.	40.0	Presa derivadora Peñitas, Col.	23/02/2026
Cd. de Méx.	36.4	Escuela Nacional Preparatoria 8, Cd. de Méx. UNAM*	20/02/2026
Dgo.	40.0	Nazas, Dgo.	20/02/2026
Gro.	42.7	Ciudad Altamirano, Gro. SMN*	28/02/2026
Gto.	39.0	Xichú, Gto.	19/02/2026
Hgo.	40.0	Metztitlán, Hgo.	19/02/2026
Jal.	39.0	Solidaridad, Jal.	23/02/2026
Méx.	34.0	Taxhimay, Méx.	20/02/2026
Mich.	39.0	Apatzingán, Mich. SMN*	17/02/2026
Mor.	39.5	Jojutla, Mor.	18/02/2026
Nay.	36.5	Pajaritos, Nay.	18/02/2026
N.L.	41.5	Camacho, N.L.	26/02/2026
Oax.	41.0	Boquilla 1, Oax.	27/02/2026
Pue.	40.0	Apapantilla, Pue.	20/02/2026
Qro.	42.0	Jalpan, Qro.	19/02/2026
Q. Roo	37.0	Isla Holbox, Q. Roo	22/02/2026
Sin.	42.0	Huites hidrométrica, Sin.	22/02/2026
<b>S.L.P.</b>	<b>43.3</b>	<b>Ciudad Fernández, S.L.P. SMN*</b>	<b>19/02/2026</b>
Son.	41.0	Tepache, Son.	26/02/2026
Tab.	38.0	Samaria, Tab.	21/02/2026
Tamps.	41.0	Miguel Hidalgo, Tamps.	26/02/2026
Tlax.	33.0	El Carmen Tequexquitla, Tlax.	10/02/2026
Ver.	39.0	Carrizal, Ver.	19/02/2026
Yuc.	41.0	Ticul, Yuc.	28/02/2026
Zac.	42.0	Mezquital del Oro, Zac.	18/02/2026

\* Automática CONAGUA.

**Tabla VII. Temperaturas mínimas [°C] extremas a nivel estatal en febrero de 2026\*.**

Estado	T. mín.	Estación	Fecha
Ags.	-4.0	Villa Juárez, Ags.	19/02/2026
B.C.	-8.1	San Pedro Mártir, B.C. UNAM*	18/02/2026
B.C.S.	1.5	Díaz Ordaz, B.C.S.	21/02/2026
Camp.	4.0	Xcupil, Camp.	02/02/2026
Chih.	-9.0	El Vergel, Chih. SMN*	15/02/2026
Chis.	-1.9	Observatorio de San Cristóbal, Chis.	03/02/2026
Coah.	-6.4	Nueva Rosita, Coah. SMN*	01/02/2026
Col.	14.0	La Esperanza, Col.	03/02/2026
Cd. de Méx.	-2.4	Ajusco Medio, Cd. de Méx. SGIRPC+++	23/02/2026
<b>Dgo.</b>	<b>-13.0</b>	<b>La Rosilla, Dgo.</b>	<b>15/02/2026</b>
Gro.	0.8	Aeropista Santa Cruz, Gro. PC++++	24/02/2026
Gto.	-3.7	La Calavera, Gto. INIFAP*	24/02/2026
Hgo.	-5.1	ITESA Apan, Hgo. SMN*	24/02/2026
Jal.	-4.0	San Gaspar de los Reyes, Jal.	19/02/2026
Méx.	-5.5	Tres Barrancas, Méx.	24/02/2026
Mich.	-0.3	Mariposa Monarca 2, Mich. SMN*	24/02/2026
Mor.	-1.0	Tres Marías, Mor.	24/02/2026
Nay.	6.4	Ixtlán del Río, Nay. SMN*	19/02/2026
N.L.	-5.0	San Rafael, N.L.	02/02/2026
Oax.	-4.0	Teposcolula, Oax.	09/02/2026
Pue.	-6.0	Ixtacamaxtitlán, Pue.	09/02/2026
Qro.	-0.3	Huimilpan, Qro. SMN*	24/02/2026
Q. Roo	4.3	Observatorio de Felipe Carrillo Puerto, Q. Roo	02/02/2026
Sin.	1.0	Sufragio, Sin.	17/02/2026
S.L.P.	-3.0	Valentín Gama, S.L.P.	10/02/2026
Son.	-4.0	Yécora, Son.	22/02/2026
Tab.	8.5	Cañón Usumacinta, Tab. SMN*	03/02/2026
Tamps.	1.0	Puerto de Valles, Tamps.	01/02/2026
Tlax.	-6.2	Huamantla, Tlax. SMN*	23/02/2026
Ver.	-8.0	Zalayeta, Ver.	09/02/2026
Yuc.	3.0	Muna, Yuc.	02/02/2026
Zac.	-4.6	Momax, Zac. INIFAP***	19/02/2026

\* Automática CONAGUA, \*\*\* Automática INIFAP, +++ Automática REMAS, (++) Automática Aeropuerto, (+++) Automática SGRIPC, (++++) Automática Protección Civil



# FRENTES FRÍOS

---

En **febrero de 2026**, cinco sistemas frontales (del **núm. 33 al 37**) afectaron en el territorio nacional (Tabla VIII).

Durante este mes, la actividad fue similar a lo pronosticado, aunque se registró un sistema menos respecto al promedio climatológico (Figura 35). Los sistemas más relevantes fueron los **núm. 33, 34 y 37**, debido a que el registro de temperaturas mínimas asociado fue inferior a los **5 °C**.

**Tabla VIII. Sistemas frontales registrados en febrero de 2026 y su periodo de desplazamiento sobre el país.**

Número de frente frío	Periodo de desplazamiento sobre México
33	03-05 feb
34	11-15 feb
35	17-18 feb
36	18-20 feb
37	20-23 feb

**REPORTE DE FRENES FRÍOS**

Temporada 2025-2026  
Perspectiva y Seguimiento

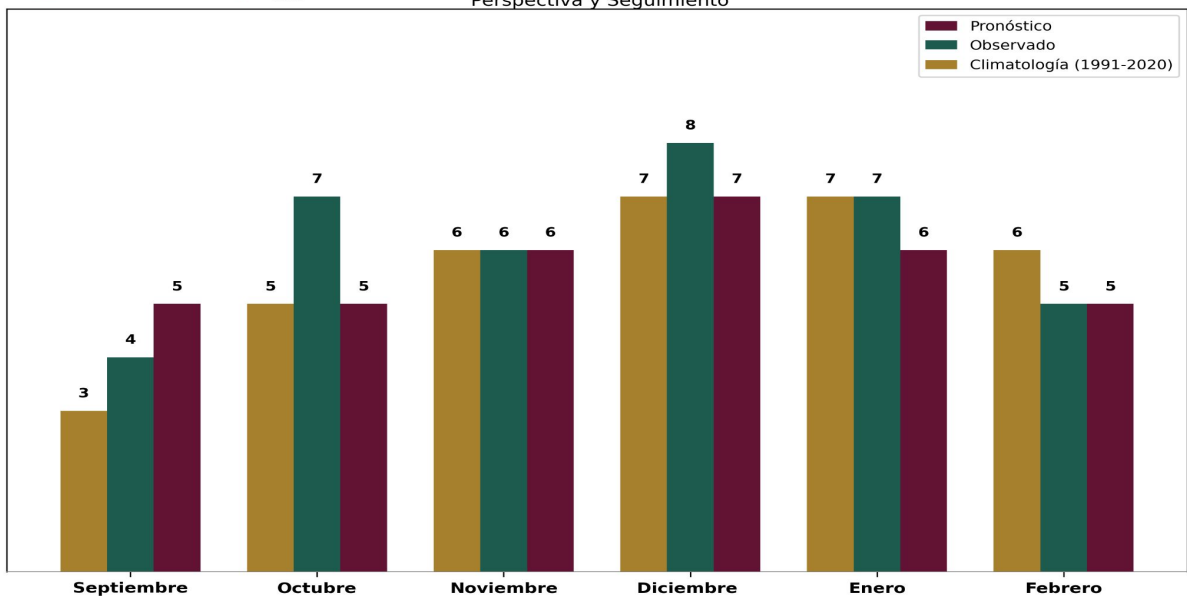


Figura 35. Climatología de frentes fríos comparada con el pronóstico y los sistemas registrados en la temporada 2025-2026.

Durante la mayor parte del mes, la **Oscilación del Ártico (OA)** se mantuvo en **fase negativa**. Su intensidad fue mayor al inicio del periodo y se debilitó hacia el final del mes; este comportamiento facilitó el desplazamiento de masas de aire frío y polar en conjunto con los sistemas frontales. Dicha evolución fue consistente con los efectos observados, particularmente con el paso de los **sistemas frontales núm. 33, 34 y 37** (Figura 36).

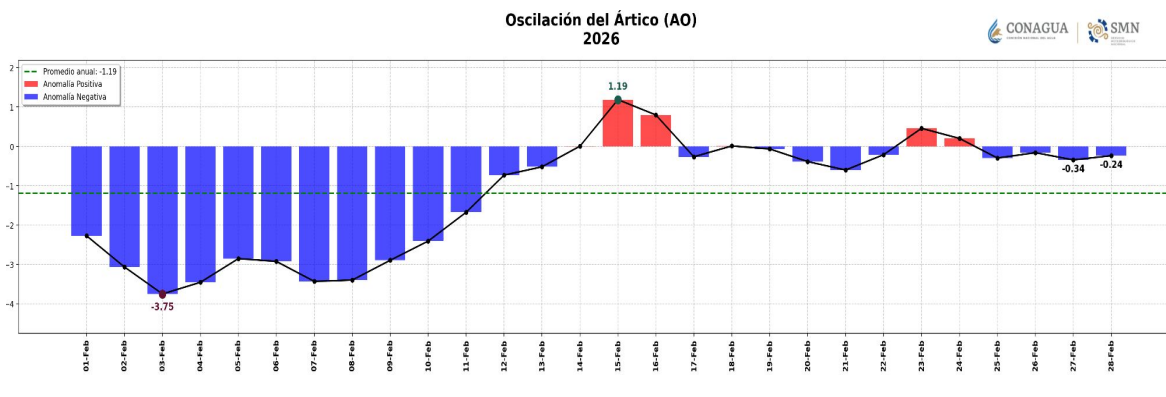


Figura 36. Anomalías diarias de la Oscilación del Ártico del 1 al 28 de febrero de 2026.

## Frente frío número 33

Tras su ingreso por el **norte y noreste** de México, el sistema interactuó con una **vaguada en altura y la corriente en chorro subtropical**, provocando vientos fuertes y lluvias dispersas (Figura 37).

Al avanzar por el territorio nacional, la masa de aire polar asociada dio lugar a un **evento de "Norte"** con rachas de hasta 110 km/h y un descenso generalizado de las temperaturas. La temperatura mínima extrema fue de **-9.0 °C** en **Guanaceví, Durango** (Tabla IX) y la

mayor precipitación que se registró fue de **57.0 mm** en **Sontecomapan, Veracruz** (Figuras 38 y 39).

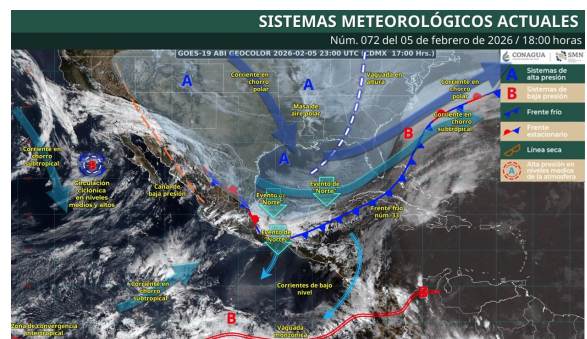


Figura 37. Sistemas meteorológicos el 5 de febrero.

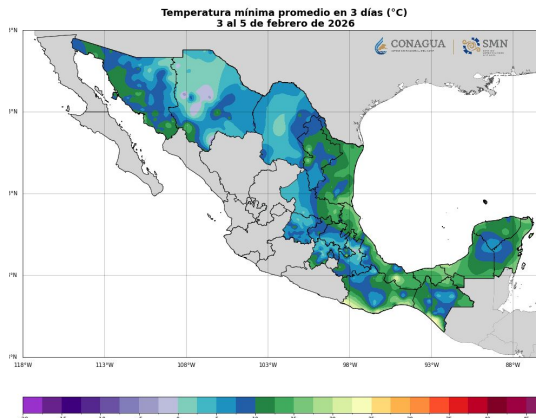


Figura 38. Temperaturas mínimas [°C] del 3 al 5 de febrero.

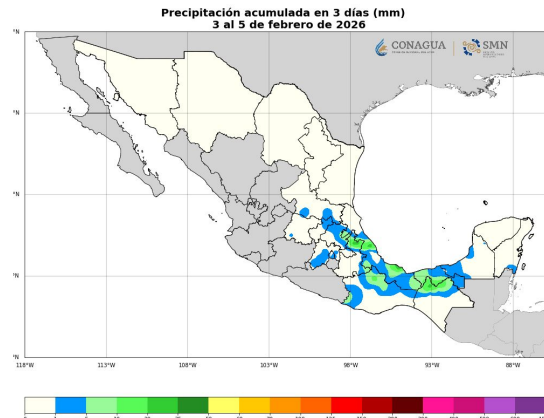


Figura 39. Precipitación acumulada [mm] del 3 al 5 de febrero.

Tabla IX. Temperaturas mínimas [°C] extremas del 3 al 5 de febrero.

Estado	Municipio	Temperatura mínima	Fecha
SON	Navojoa	-2.0	04-02-2026
CHIH	Madera	-7.0	03-02-2026
COAH	Cuatro Ciénegas	-2.0	03-02-2026
NL	Linarez	2.0	05-02-2026
ZAC	Juan Aldama	-3.0	03-02-2026
<b>DGO</b>	<b>Guanaceví</b>	<b>-9.0</b>	<b>03-02-2026</b>
SLP	San Martín Chalchicuautla	-1.0	05-02-2026
VER	Perote	-4.0	03-02-2026
QRO	Amealco de Bonfil	3.0	03-02-2026
HGO	Apan	-2.0	03-02-2026
TAB	Tenosique	8.5	03-02-2026
CAMP	Hopelchén	5.0	03-02-2026
YUC	Tekax	4.5	03-02-2026
QROO	Othón P. Bonfil	3.0	03-02-2026

## Frente frío número 34

El ingreso de este sistema frontal se registró sobre el **norte de Baja California**. Su interacción con la corriente en chorro subtropical ocasionó lluvias, descenso de temperatura, nieblas y la caída de **nieve en Baja California, Baja California Sur y Chihuahua**, además de vientos fuertes (Figura 40).

Al desplazarse sobre los estados de la frontera norte y las regiones del noreste, oriente y centro del país, el sistema interactuó con las corrientes en chorro polar y subtropical, así como con una vaguada en altura. En combinación con la masa de aire frío, estos fenómenos generaron un **marcado descenso térmico, vientos fuertes, tormentas eléctricas y heladas en Durango y Chihuahua.**

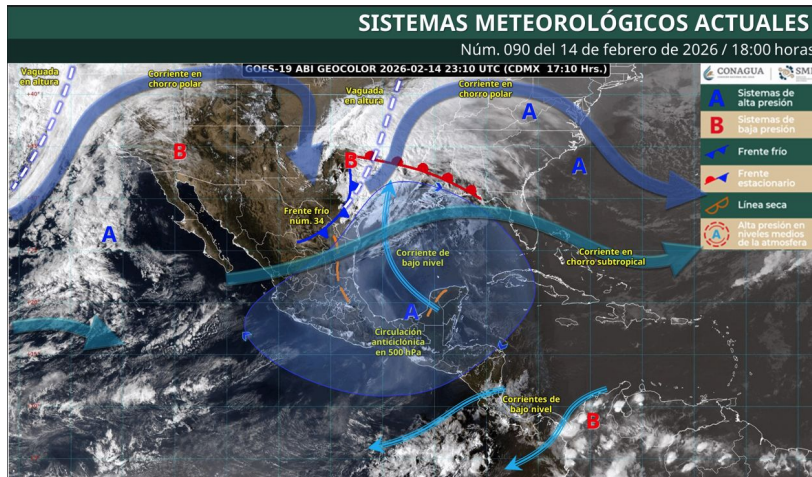


Figura 40. Sistemas meteorológicos el 14 de febrero.

Los valores más relevantes registrados fueron una temperatura mínima de **-13.0 °C** en **Guanaceví, Durango** (Tabla X y Figura 41); la mayor precipitación se registró de **15.5 mm** en la estación **Bacerac, Sonora**, el día 13 de febrero (Figura 42).

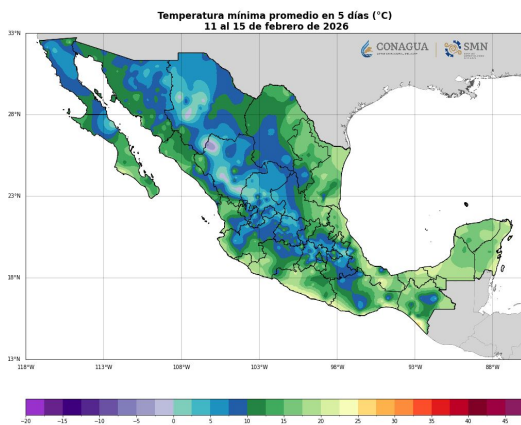


Figura 41. Temperaturas mínimas [°C] del 11 al 15 de febrero.

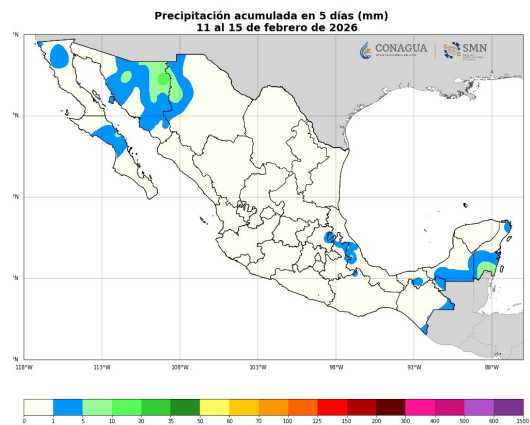


Figura 42. Precipitación acumulada [mm] del 11 al 15 de febrero.

Tabla X. Temperaturas mínimas [°C] extremas del 11 al 15 de febrero.

Estado	Municipio	Temperatura mínima	Fecha
BC	Ensenada	-7.2	14-02-2026
BCS	Mulegé	-2.5	15-02-2026
SON	Yécora	-3.0	15-02-2026
SIN	Elota	-4.0	12-02-2026
CHIH	Balleza	-9.0	15-02-2026
COAH	Saltillo	2.0	15-02-2026
<b>DGO</b>	<b>Guanaceví</b>	<b>-13.0</b>	<b>15-02-2026</b>
NL	Aramberri	3.0	11-02-2026
TAMP	El Mante	0.3	15-02-2026
SLP	Villa de Reyes	0.0	15-02-2026
ZAC	Momax	-3.2	15-02-2026
VER	Perote	-2.0	12-02-2026
QRO	Huimilpan	-0.6	15-02-2026
HGO	Apan	0.1	13-02-2026
TLAX	Cuapiaxtla	1.0	11-02-2026
PUE	Tepeyahualco	-3.0	11-02-2026
MEX	Temoaya	-4.0	12-02-2026
CDMX	Iztapalapa	-1.0	15-02-2026

## Frente frío número 35

El sistema frontal registrado del 17 al 18 de febrero **ingresó por el norte de Baja California**. Su interacción con **una vaguada polar**, las **corrientes en chorro polar y subtropical**, el aporte de vapor de agua del océano **Pacífico** y las **condiciones de inestabilidad atmosférica**, generó tormentas eléctricas, nieblas densas, heladas, vientos fuertes y tolvaneras (Figura 43).

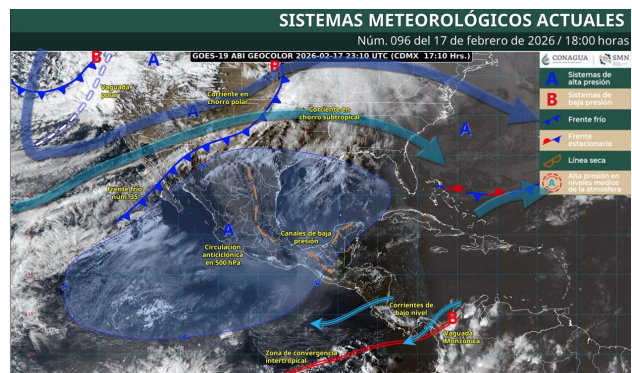


Figura 43. Sistemas meteorológicos el 17 de febrero.

La temperatura mínima extrema asociada al sistema frontal fue de **-8.1 °C** en el municipio de **Ensenada, Baja California** (Tabla XI). Asimismo, se registró la mayor precipitación de **18.0 mm** en la estación **El Carrizo, Baja California**.

**Tabla XI. Temperaturas mínimas [°C] extremas del 17 al 18 de febrero.**

Estado	Municipio	Temperatura mínima [°C]	Fecha
BC	Ensenada	-8.1	18-02-2026
BCS	Los Cabos	0.0	18-02-2026
SON	Hermosillo	-2.7	18-02-2026
SIN	Escuinapa	4.0	17-02-2026
CHIH	Madera	-6.0	17-02-2026
COAH	Saltillo	2.0	17-02-2026

## Frente frío número 36

El ingreso de este sistema frontal sobre el **norte de Baja California**, en interacción con las corrientes en chorro polar y subtropical, así como con una vaguada polar, **propició el descenso de las temperaturas, tormentas eléctricas, vientos fuertes, heladas y bancos de niebla densa** (Figura 44). Al desplazarse **sobre el norte del país**, su combinación con la corriente en chorro subtropical, una línea seca y un canal de baja presión, generó lluvias dispersas, rachas de viento y un marcado descenso térmico.

La temperatura mínima extrema asociada al sistema frontal fue de **-8.1 °C** en el municipio de **Ensenada, Baja California** (Tabla XII). Asimismo, se registró la mayor precipitación de **45.6 mm** en la estación **Constitución de 1857, Baja California**.

**Tabla XII. Temperaturas mínimas [°C] extremas del 18 al 20 de febrero.**

Estado	Municipio	Temperatura mínima [°C]	Fecha
BC	Ensenada	-8.1	18-02-2026
SON	Yécora	-3.0	19-02-2026
CHIH	Temósachic	-4.1	20-02-2026
COAH	Saltillo	2.0	18-02-2026

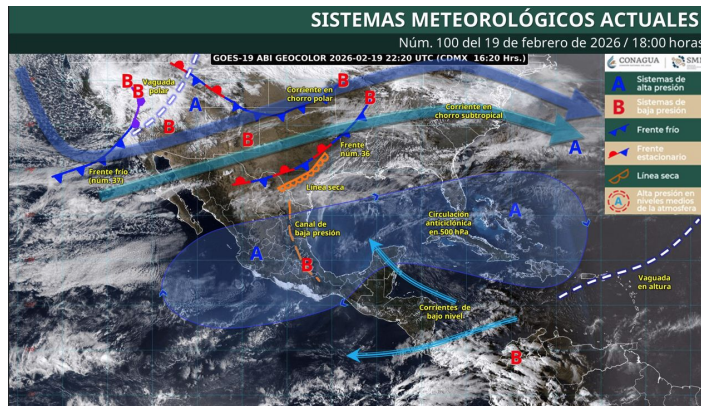


Figura 44. Sistemas meteorológicos el 19 de febrero.

## Frente frío número 37

Al ingresar por el **noroeste del país**, el sistema frontal interactuó con **las corrientes en chorro polar y subtropical**, así como con **un canal de baja presión**, lo que generó vientos fuertes y lluvias puntuales (Figura 45). Impulsado por la masa de aire ártico, el sistema provocó precipitaciones intensas en estados del norte y noroeste. Asimismo, se registró un **evento de "Norte"** intenso en Veracruz y muy fuerte en Tamaulipas, Tabasco y la península de Yucatán. Estas condiciones derivaron en **oleaje elevado en el litoral del golfo de México y de Tehuantepec**, además de un **ambiente gélido con heladas en zonas altas**.

La temperatura mínima extrema asociada a este sistema fue de **-10.0 °C** en **Guanaceví, Durango**

(Figura 46 y Tabla XIII), mientras que el mayor acumulado de precipitación registrado fue de **142.0 mm** en la estación de **Misantla, Veracruz** el 22 de febrero (Figura 47).

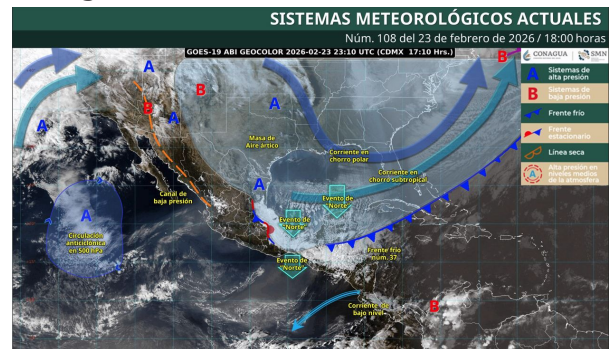
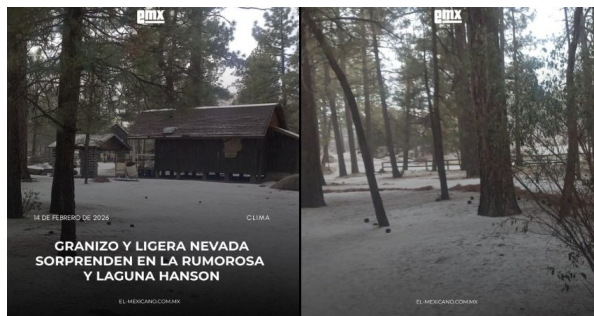


Figura 45. Sistemas meteorológicos el 23 de febrero.



**Tabla XIII. Temperaturas mínimas [°C] extremas del 20 al 23 de febrero.**

	Municipio	Temperatura mínima	Fecha
BC	Ensenada	-6.6	20-02-2026
SON	Yécora	-4.0	21-02-2026
CHIH	Bocoyna	-6.3	21-02-2026
COAH	Saltillo	-0.5	23-02-2026
<b>DGO</b>	<b>Guanaceví</b>	<b>-10.0</b>	<b>23-02-2026</b>
NL	Aramberri	0.0	23-02-2026
TAMP	El Mante	0.0	21-02-2026
SLP	San Martín Chalchicuautla	-3.0	23-02-2026
ZAC	Valparaíso	-2.3	21-02-2026
VER	Perote	-7.0	21-02-2026
QRO	Huimilpan	0.2	23-02-2026
HGO	Apan	-4.7	23-02-2026
TLAX	Huamantla	-6.2	23-02-2026
PUE	Ahuazotepec	-5.0	23-02-2026
MEX	Tequixquiac	-5.0	23-02-2026
CDMX	Tlalpan	-2.4	23-02-2026

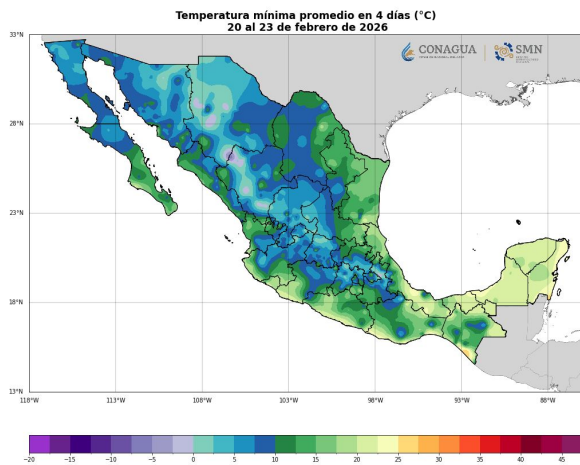


Figura 46. Temperaturas mínimas [°C] del 20 al 23 de febrero.

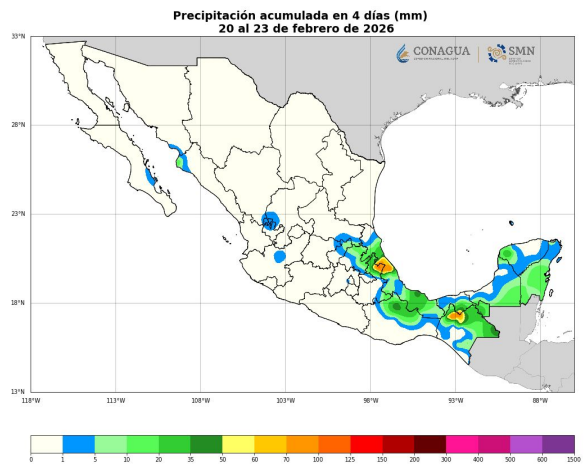


Figura 47. Precipitación acumulada [mm] del 20 al 23 de febrero.



# EVENTOS NOTABLES

---

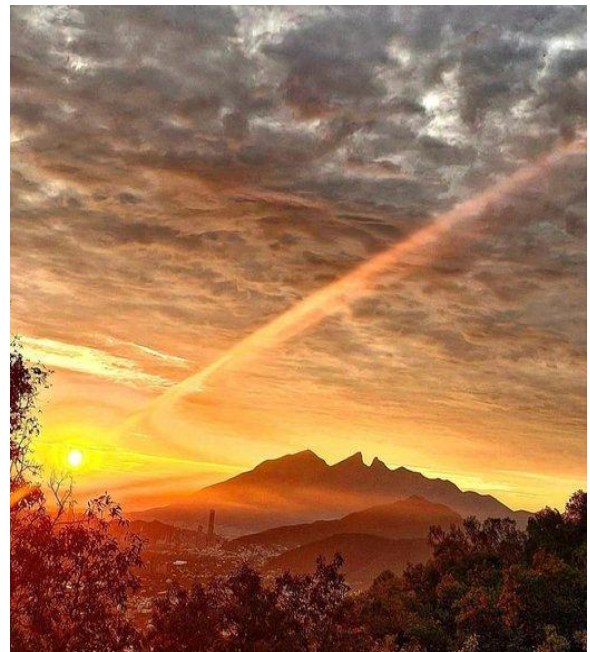
Durante febrero, México estuvo influenciado de manera frecuente por diversos **sistemas frontales** y sus respectivas masas de aire frío, lo que provocó cambios constantes en la temperatura a lo largo del mes. Al interactuar con la humedad proveniente del océano Pacífico y del golfo de México, estos sistemas generaron **lluvias** de distinta intensidad y algunos episodios de tormenta, principalmente en el oriente y sureste del país.

En la Mesa del Norte y la Mesa Central se registraron descensos frecuentes de temperatura, como el que se registró en las montañas del estado de Chihuahua (Figura 48), **heladas** en el estado de Monterrey (Figura 49) e inversiones térmicas durante las mañanas. En el litoral del golfo de México se presentaron **eventos de "Norte"** con rachas intensas de viento y oleaje elevado, así como **tolvaneras** en el noroeste y norte del país.

En conjunto, febrero mostró un invierno activo, con cambios constantes en el estado del tiempo: periodos de ambiente más estable después del paso de los frentes fríos, seguidos por etapas con mayor nubosidad, viento y lluvias en distintas regiones.



*Figura 48. Helada en montañas del municipio Gómez Farías, Chihuahua (10 de febrero de 2026).*



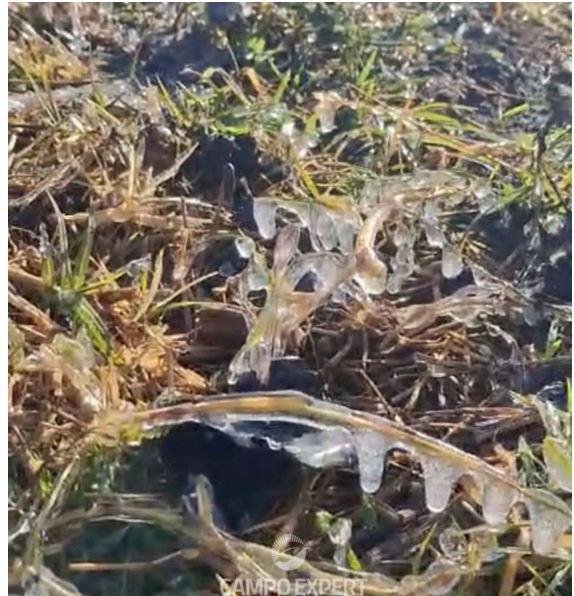
*Figura 49. Helada en Nuevo León, Monterrey (9 de febrero de 2026).*

## Heladas y nevadas

A lo largo del mes se documentaron episodios de heladas y fenómenos asociados a masas de aire frío por frentes fríos (del núm. 33 al núm. 37), particularmente en regiones montañosas del norte y noroeste del país, temperaturas de  $-10$  a  $-5$  °C con heladas en zonas serranas de Chihuahua y Durango, y  $-5$  a  $0$  °C con heladas en estados como Zacatecas, Edomex, Hidalgo, Tlaxcala y Puebla.

Durante los primeros días del mes se presentó cristalización de humedad en superficie y formación de escarcha en zonas serranas, mientras que hacia mediados de febrero se observaron eventos más significativos de precipitación invernal.

Posteriormente, durante el periodo del 8 al 10 de febrero, se reportaron heladas en Chihuahua y Puebla (Figura 50), mientras que del 12 al 14 de febrero continuaron las condiciones propicias para la formación de escarcha y congelación superficial en sierras del norte, incluyendo reportes de nevada en Chihuahua (Figura 51).



*Figura 50. Helada en Atzitzintla y Cuatro Rayas, Puebla (9 de febrero de 2026).*



*Figura 51. Nevada en cerro Mohinora, Chihuahua (10 de febrero de 2026).*

## Heladas y nevadas

El 14 de febrero se registró caída de granizo y ligera nevada en La Rumorosa, Parque Nacional Constitución (Figura 52).

Finalmente, el 24 de febrero se observaron cencelladas en Veracruz (Figura 53), y del 24 al 26 de febrero se reportó congelamiento visible en campos agrícolas de municipios de Puebla como Tecamachalco, Quecholac y Yehualtepec (Figura 54), así como heladas en San Cristóbal de las Casas, Chiapas (Figura 55), el 25 de febrero.

En conjunto, estos registros muestran una recurrencia significativa de procesos de congelación superficial y precipitación sólida en diversas regiones del país durante el mes de febrero.



*Figura 53. Cencellada en zonas altas de Tlacolulan, Veracruz (24 de febrero de 2026).*



*Figura 54. Helada en los campos de Puebla (24 de febrero de 2026).*



*Figura 52. El Parque Nacional Constitución de 1857, Baja California (14 de febrero de 2026).*



*Figura 55. Helada en San Cristóbal de las Casas, Chiapas (25 de febrero de 2026).*

## Eventos de “Norte”

En el golfo de México se presentaron episodios de viento fuerte y oleaje elevado conocidos como eventos de “Norte”.

El primero ocurrió entre el 1 y 2 de febrero, debido al **frente frío 33**, generando oleaje elevado. Entre el 3 y 4 de febrero, con el reforzamiento de la masa de aire frío vinculada a los **frentes fríos 32 y 33**, se registró un evento significativo en Veracruz (Figura 56), donde se reportaron **rachas máximas de 97.3 y 99.5 km/h**, lo que provocó mar agitado y reducción de visibilidad en zonas costeras.

Del 19 al 22 de febrero, la interacción de un evento de “Norte” con **un canal de baja presión** favoreció vientos intensos, tormentas y oleaje elevado en el litoral de Veracruz, Oaxaca y Chiapas (Figura 57). Estos eventos impactaron las actividades marítimas y favorecieron ambiente más fresco con mayor nubosidad en la región.

Estos eventos fueron de los **fenómenos más relevantes del mes en el golfo de México**, con rachas máximas aproximadamente de 80 a 110 km/h en los eventos más intensos.



Figura 56. “Norte” en Veracruz (3 de febrero de 2026).

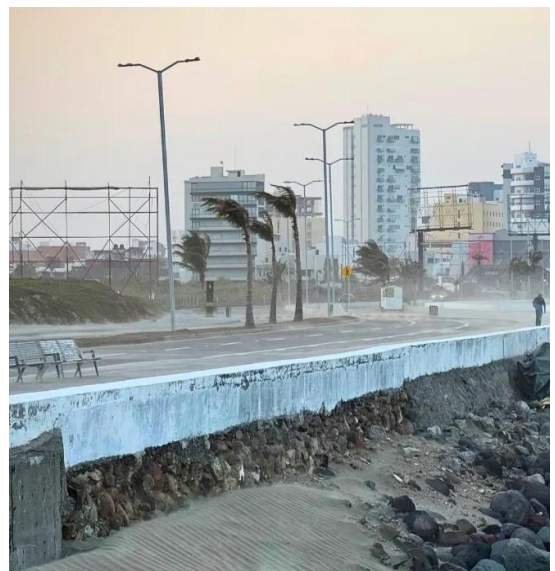


Figura 57. “Norte” en Veracruz (22 de febrero de 2026).

## Otros fenómenos

Además del frío y el viento costero, febrero también dejó episodios de **tolvaneras**, principalmente en el norte del país, asociados a periodos de viento fuerte en superficie y condiciones de suelo seco.

El 10 de febrero, se registraron en regiones áridas del norte y noreste, tolváneras en la parte alta de Jacona, Michoacán (Figura 58), mostrando que este fenómeno también puede manifestarse en regiones del occidente cuando coinciden rachas intensas y superficies susceptibles a la suspensión de partículas reduciendo la visibilidad en tramos carreteros y zonas abiertas.

Del 16 al 18 de febrero, se reportaron tolváneras en Coahuila (Figura 59), asociadas a vientos superiores a **60 km/h**. La combinación de vientos intensos, baja humedad del suelo y cobertura vegetal limitada favoreció la ocurrencia de este fenómeno, particularmente en planicies y zonas desérticas del norte del territorio nacional, además de zonas elevadas del occidente del país.



*Figura 58. Tolvánera en la parte alta de Jacona (10 de febrero de 2026).*



*Figura 59. Tolvánera en Torreón, Coahuila (18 de febrero de 2026).*



# ¿Sabías

qué?

---

# ¿Sabías qué?...

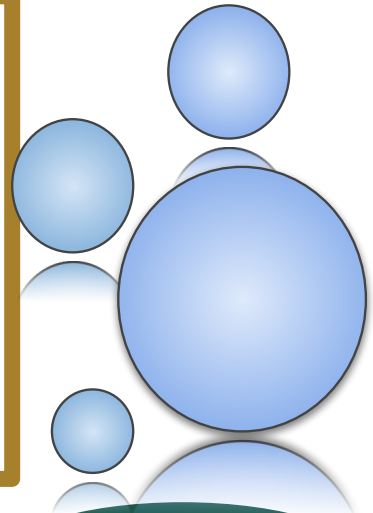


Existen **cinco** factores importantes que controlan la evaporación del agua en la atmósfera.

## 1. El calor como combustible (temperatura).

Para que el agua pase de estado **líquido a vapor**, necesita **energía**. Al aumentar la temperatura, las moléculas en la superficie del agua se agitan con tanta fuerza que **adquieren la energía necesaria** para romper su "unión" líquida y **escapar hacia el aire en forma de gas**.

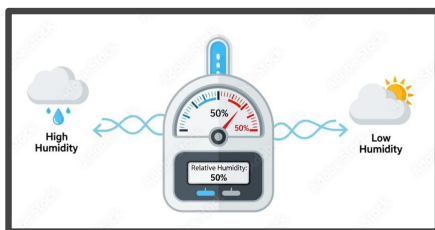
**Impacto en el clima:** Durante las **olas de calor** o en las **zonas tropicales**, la radiación solar intensifica este proceso. Esto carga la atmósfera con grandes cantidades de humedad que, **al elevarse y enfriarse, sirven de materia prima para la formación de nubes**.



## 2. Capacidad del aire (humedad relativa).

**El aire funciona como una esponja invisible.** Si el aire ya está muy húmedo (cerca del 100% de saturación), ya no tiene espacio para recibir más vapor y el proceso se detiene.

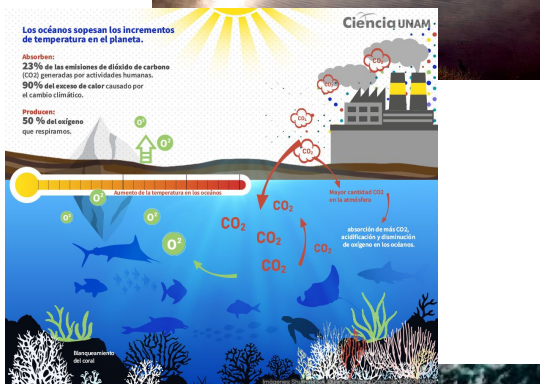
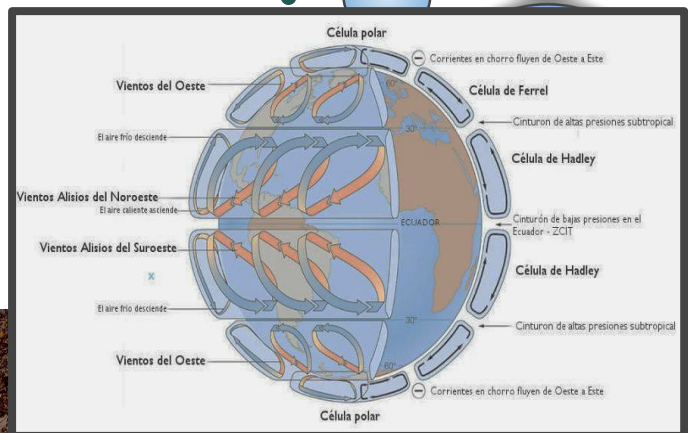
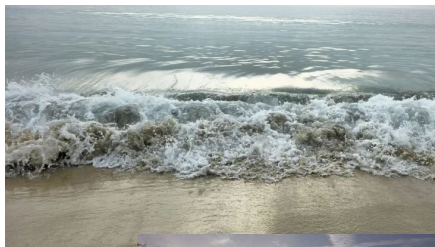
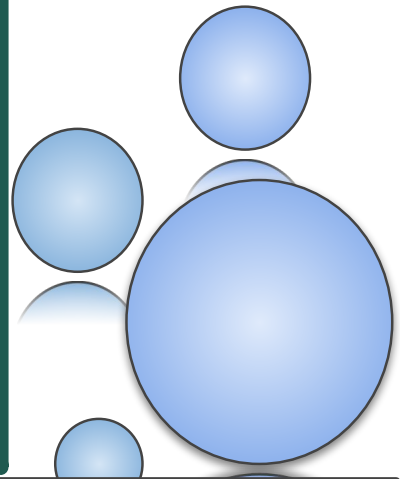
**Impacto en el clima:** En los **desiertos**, el aire que se presenta en esta región **absorbe la humedad del suelo casi instantáneamente**. En cambio, en una **selva húmeda**, aunque haga calor, **el agua se evapora lentamente**.



### 3. Velocidad del viento.

Cuando el agua se evapora, forma una pequeña capa de aire muy húmedo justo encima de la superficie que frena el proceso. El viento actúa "barriendo" esa capa saturada, trayendo aire nuevo y seco que permite que la evaporación continúe.

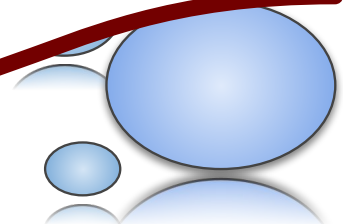
**Impacto en el clima:** Los vientos constantes, como los Alisios en el océano, son responsables de transportar enormes cantidades de humedad desde el mar hacia las costas.



### 4. Composición del agua (salinidad).

No toda el agua se evapora igual. En los océanos, la sal actúa como un imán químico que "sujeta" a las moléculas de agua, haciendo que les cueste más trabajo subir a la atmósfera.

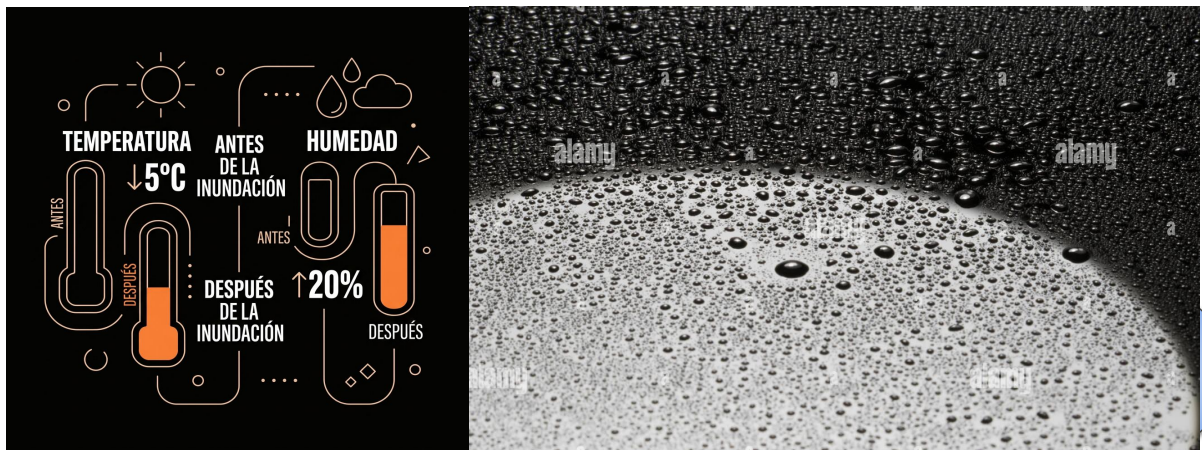
**Impacto en el clima:** Debido a este fenómeno químico, el agua de mar se evapora un 5% más lento que el agua dulce de río o de una presa bajo las mismas condiciones.



## 5. Superficie de exposición.

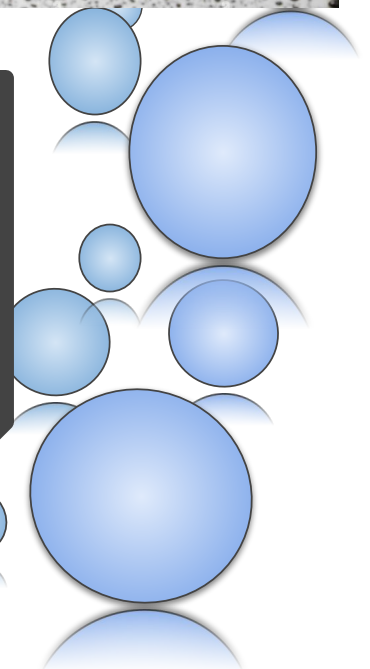
La evaporación ocurre en las zonas donde el agua toca el aire. **Si tienes mucha agua acumulada en un pozo profundo, se evapora lento. Pero si esa misma agua se extiende formando un charco gigante y poco profundo, la evaporación será mucho mayor.**

**Impacto en el clima:** Esto explica por qué las inundaciones poco profundas pero muy extensas pueden refrescar o humedecer el clima de una zona con gran rapidez, ya presentan una superficie de evaporación muy grande.



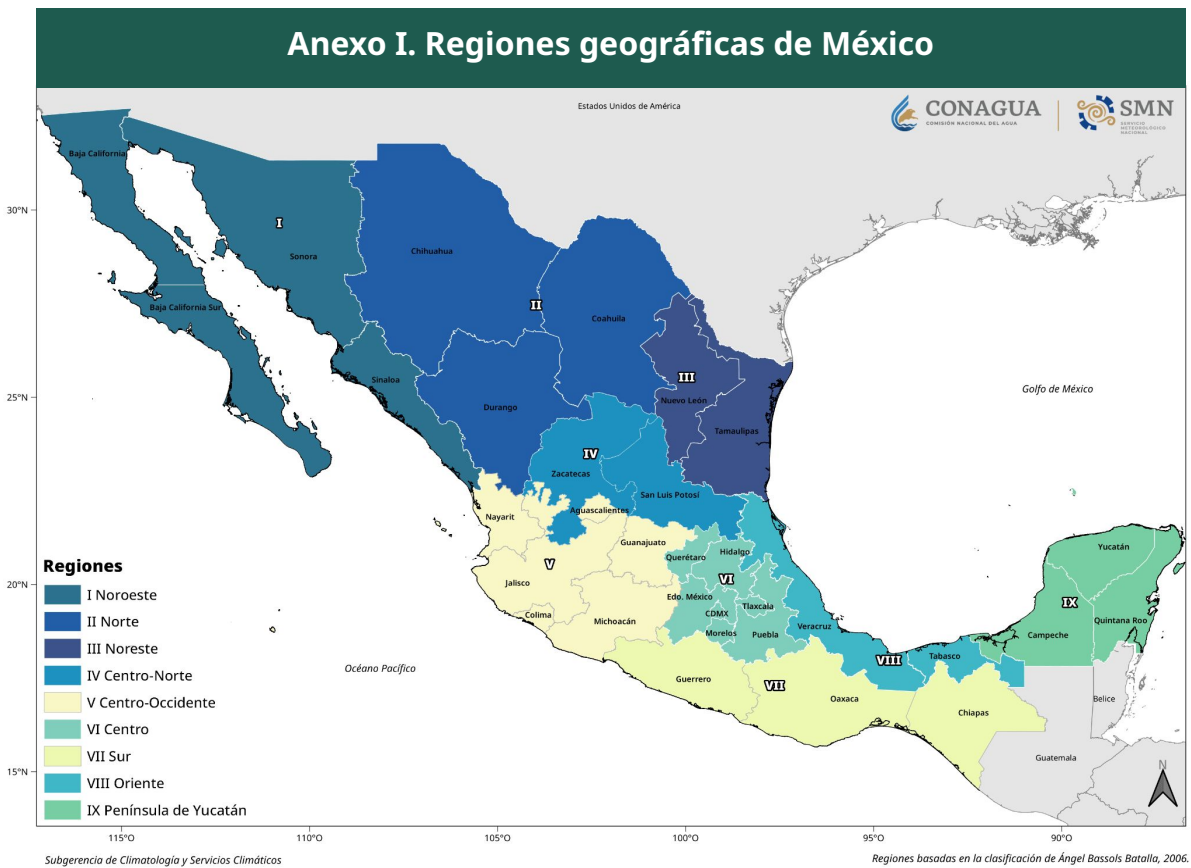
### ¿Para qué nos sirve saber esto?

Medir estos factores es fundamental para la **agricultura y la gestión del agua**, ya que permite estimar la **evapotranspiración**; es decir, determinar cuánta agua pierde el suelo y cuánta necesitan realmente.



# Anexos

---



El mapa muestra la regionalización geográfica de México, dividiendo el país en nueve regiones distintas para el Reporte del Clima. Esta clasificación se basa en el trabajo del geógrafo Ángel Bassols Batalla de su libro *"Recursos naturales de México: Una visión histórica"*, publicado en el año 2006.



**Anexo II. Precipitación por Entidad Federativa.**

Estado	Ene	Feb	Mar	Abr	May	Jun	Jul	Ago	Sep	Oct	Nov	Dic
<b>Aguascalientes</b>	5.2	0.0										
<b>Baja California</b>	15.2	13.7										
<b>Baja California Sur</b>	29.1	5.3										
<b>Campeche</b>	29.2	8.5										
<b>Coahuila</b>	8.9	0.8										
<b>Colima</b>	37.9	0.1										
<b>Chiapas</b>	44.6	16.4										
<b>Chihuahua</b>	23.3	12.6										
<b>Ciudad de México</b>	6.2	1.2										
<b>Durango</b>	31.5	4.8										
<b>Guanajuato</b>	11.2	0.3										
<b>Guerrero</b>	11.3	3.2										
<b>Hidalgo</b>	8.5	5.3										
<b>Jalisco</b>	16.0	1.6										
<b>Estado de México</b>	15.8	2.9										
<b>Michoacán</b>	12.1	0.5										
<b>Morelos</b>	0.7	3.8										
<b>Nayarit</b>	9.2	1.3										
<b>Nuevo León</b>	5.0	0.0										
<b>Oaxaca</b>	22.3	6.6										
<b>Puebla</b>	11.7	11.2										
<b>Querétaro</b>	6.7	3.3										
<b>Quintana Roo</b>	36.6	18.5										
<b>San Luis Potosí</b>	7.0	1.0										
<b>Sinaloa</b>	43.3	3.4										
<b>Sonora</b>	44.8	5.2										
<b>Tabasco</b>	159.5	22.3										
<b>Tamaulipas</b>	4.1	0.5										
<b>Tlaxcala</b>	7.1	1.3										
<b>Veracruz</b>	73.8	23.9										
<b>Yucatán</b>	21.6	13.6										
<b>Zacatecas</b>	16.9	0.8										
<b>Nacional</b>	25.7	6.9										

**Anexo III. Máximos de precipitación por entidad federativa.**

Entidad	Precipitación (mm)	Lugar	Fecha
Aguascalientes	0.6	Sierra Fría, Ags.*	28/02/2026
Baja California	45.6	Constitución de 1857, B.C.*	19/02/2026
Baja California Sur	38.0	La Poza Grande, B.C.S.	09/02/2026
Campeche	19.0	Xpujil, Camp.	22/02/2026
Chihuahua	43.3	Creel, Chih.	09/02/2026
Chiapas	118.6	El Escalón, Chis.*	22/02/2026
Coahuila	0.6	Las Vacas Ciudad Acuña, Coah.+	14/02/2026
Colima	0.5	Cuauhtémoc, Col.	27/02/2026
Ciudad de México	5.8	La Venta, Cd. de Méx.	04/02/2026
Durango	25.0	Indé, Dgo.	09/02/2026
Guerrero	36.0	Observatorio de Acapulco, Gro.	03/02/2026
Guanajuato	5.0	Agua Tibia, Gto.	03/02/2026
Hidalgo	24.9	Huehuetla, Hgo.	21/02/2026
Jalisco	10.0	El Rodeo, Jal.	06/02/2026
Estado de México	13.5	Texcaltitlán, Méx.	27/02/2026
Michoacán	4.5	Pucuató, Mich.	05/02/2026
Morelos	43.0	Puente de Ixtla, Mor.	27/02/2026
Nayarit	4.3	Islas Marías, Nay.****	02/02/2026
Nuevo León		Sin lluvias	
Oaxaca	65.4	Zacatepec, Oax.	22/02/2026
Puebla	118.4	La Soledad, Pue.	22/02/2026
Querétaro	34.6	Sierra Gorda 1, Qro.*	21/02/2026
Quintana Roo	50.4	José María Morelos, Q. Roo*	22/02/2026
Sinaloa	26.5	Higuera de Zaragoza, Sin.	21/02/2026
San Luis Potosí	23.8	Tierra Blanca, S.L.P.	21/02/2026
Sonora	15.5	Bacerac, Son.	13/02/2026
Tabasco	122.0	Oxolotán, Tab.	22/02/2026
Tamaulipas	8.7	Bombas Altamira, Tamps.	01/02/2026
Tlaxcala	3.0	Observatorio de Tlaxcala, Tlax.	26/02/2026
Veracruz	142.0	Misantla, Ver.	22/02/2026
Yucatán	57.4	Chocholá, Yuc.	22/02/2026
Zacatecas	25.9	Juchipila, Zac.	02/02/2026

\*Automática CONAGUA

**Anexo IV. Temperatura máxima por entidad federativa**

Estado	Ene	Feb	Mar	Abr	May	Jun	Jul	Ago	Sep	Oct	Nov	Dic
<b>Aguascalientes</b>	23.0	28.2										
<b>Baja California</b>	21.3	23.5										
<b>Baja California Sur</b>	26.1	27.7										
<b>Campeche</b>	29.0	29.8										
<b>Coahuila</b>	21.3	27.8										
<b>Colima</b>	32.4	32.1										
<b>Chiapas</b>	29.2	29.9										
<b>Chihuahua</b>	18.8	23.5										
<b>Ciudad de México</b>	22.3	25.6										
<b>Durango</b>	21.6	26.6										
<b>Guanajuato</b>	23.9	27.1										
<b>Guerrero</b>	31.2	31.7										
<b>Hidalgo</b>	22.7	25.8										
<b>Jalisco</b>	26.6	29.3										
<b>Estado de México</b>	20.8	24.0										
<b>Michoacán</b>	26.3	29.1										
<b>Morelos</b>	28.4	30.4										
<b>Nayarit</b>	29.8	31.5										
<b>Nuevo León</b>	23.0	28.9										
<b>Oaxaca</b>	28.4	29.6										
<b>Puebla</b>	23.3	26.2										
<b>Querétaro</b>	24.1	27.9										
<b>Quintana Roo</b>	28.9	29.2										
<b>San Luis Potosí</b>	25.1	28.6										
<b>Sinaloa</b>	30.2	31.2										
<b>Sonora</b>	25.5	28.5										
<b>Tabasco</b>	28.0	29.7										
<b>Tamaulipas</b>	25.0	29.1										
<b>Tlaxcala</b>	21.7	26.2										
<b>Veracruz</b>	24.4	26.6										
<b>Yucatán</b>	29.1	30.6										
<b>Zacatecas</b>	22.3	27.2										
<b>Nacional</b>	24.6	27.8										

**Anexo IV. Temperatura media por entidad federativa**

Estado	Ene	Feb	Mar	Abr	May	Jun	Jul	Ago	Sep	Oct	Nov	Dic
<b>Aguascalientes</b>	14.1	17.2										
<b>Baja California</b>	15.3	16.5										
<b>Baja California Sur</b>	20.0	20.8										
<b>Campeche</b>	23.4	23.4										
<b>Coahuila</b>	14.0	19.1										
<b>Colima</b>	26.0	25.8										
<b>Chiapas</b>	22.9	22.2										
<b>Chihuahua</b>	10.5	14.7										
<b>Ciudad de México</b>	15.4	17.5										
<b>Durango</b>	13.0	16.4										
<b>Guanajuato</b>	15.1	16.9										
<b>Guerrero</b>	24.6	24.7										
<b>Hidalgo</b>	14.9	16.5										
<b>Jalisco</b>	18.3	20.0										
<b>Estado de México</b>	12.3	14.7										
<b>Michoacán</b>	17.5	19.5										
<b>Morelos</b>	20.0	21.3										
<b>Nayarit</b>	23.2	23.7										
<b>Nuevo León</b>	15.4	20.2										
<b>Oaxaca</b>	20.9	21.3										
<b>Puebla</b>	15.1	16.9										
<b>Querétaro</b>	15.9	18.1										
<b>Quintana Roo</b>	23.7	23.5										
<b>San Luis Potosí</b>	17.4	19.7										
<b>Sinaloa</b>	22.1	22.1										
<b>Sonora</b>	16.8	19.2										
<b>Tabasco</b>	23.2	23.7										
<b>Tamaulipas</b>	18.0	21.2										
<b>Tlaxcala</b>	12.2	16.1										
<b>Veracruz</b>	18.7	19.8										
<b>Yucatán</b>	22.7	23.1										
<b>Zacatecas</b>	13.2	16.4										
<b>Nacional</b>	17.0	19.3										

**Anexo V. Temperatura mínima por entidad federativa**

Estado	Ene	Feb	Mar	Abr	May	Jun	Jul	Ago	Sep	Oct	Nov	Dic
<b>Aguascalientes</b>	5.2	6.1										
<b>Baja California</b>	9.4	9.6										
<b>Baja California Sur</b>	14.0	13.8										
<b>Campeche</b>	17.8	16.9										
<b>Coahuila</b>	6.7	10.4										
<b>Colima</b>	19.6	19.4										
<b>Chiapas</b>	16.7	14.5										
<b>Chihuahua</b>	2.2	5.9										
<b>Ciudad de México</b>	8.4	9.4										
<b>Durango</b>	4.4	6.3										
<b>Guanajuato</b>	6.2	6.7										
<b>Guerrero</b>	18.0	17.8										
<b>Hidalgo</b>	7.0	7.2										
<b>Jalisco</b>	10.0	10.7										
<b>Estado de México</b>	3.8	5.5										
<b>Michoacán</b>	8.7	10.0										
<b>Morelos</b>	11.6	12.3										
<b>Nayarit</b>	16.5	15.9										
<b>Nuevo León</b>	7.8	11.5										
<b>Oaxaca</b>	13.3	12.9										
<b>Puebla</b>	6.8	7.6										
<b>Querétaro</b>	7.7	8.4										
<b>Quintana Roo</b>	18.6	17.8										
<b>San Luis Potosí</b>	9.8	10.9										
<b>Sinaloa</b>	14.0	13.1										
<b>Sonora</b>	8.1	9.8										
<b>Tabasco</b>	18.3	17.7										
<b>Tamaulipas</b>	11.0	13.4										
<b>Tlaxcala</b>	2.7	6.0										
<b>Veracruz</b>	13.0	12.9										
<b>Yucatán</b>	16.4	15.6										
<b>Zacatecas</b>	4.1	5.5										
<b>Nacional</b>	9.5	10.7										